

本資料のうち、枠囲みの内容は、
商業機密あるいは防護上の観点
から公開できません。

東海第二発電所 工事計画審査資料	
資料番号	補足-340-7 改 0
提出年月日	平成 30 年 3 月 13 日

工事計画に係る補足説明資料

耐震性に関する説明書のうち

補足-340-7 【水平 2 方向及び鉛直方向の適切な組合せに
する検討について】

平成 30 年 3 月

日本原子力発電株式会社

目次

1. 検討の目的	1
2. 水平 2 方向及び鉛直方向地震力による影響評価に用いる地震動	2
2.1 東海第二発電所の基準地震動	2
2.2 水平 2 方向及び鉛直方向地震力による影響評価に用いる地震動	6
3. 各施設における水平 2 方向及び鉛直方向地震力の影響評価	7
3.1 建物・構築物	7
<u>3.2 機器・配管系</u>	X
3.3 屋外重要土木構造物	X
3.4 津波防護施設、浸水防止設備及び津波監視設備	X

別紙 1 評価部位の抽出に関する説明資料

別紙 2 3 次元 FEM モデルを用いた精査

別紙 3 3 次元 FEM モデルによる地震応答解析

別紙 4 機器・配管系に関する説明資料

下線部：ご提出資料

3.2 機器・配管系

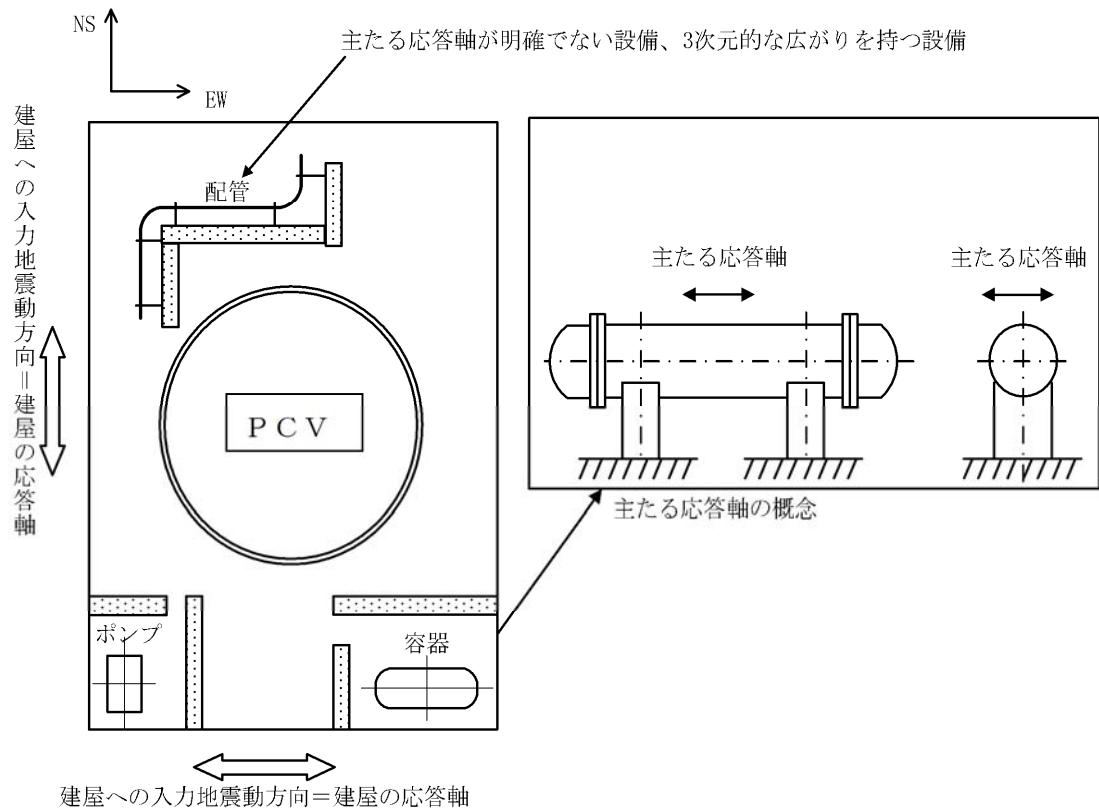
3.2.1 水平方向及び鉛直方向地震力の組合せによる従来設計の考え方

機器・配管系における従来の水平方向及び鉛直方向の組合せによる設計手法では、建物・構築物の振動特性を考慮し、変形するモードが支配的となり応答が大きくなる方向（応答軸方向）に基準地震動 S_a を入力して得られる各方向の地震力（床応答）を用いている。

応答軸（強軸・弱軸）が明確となっている設備の耐震評価においては、水平各方向の地震力を包絡し、変形モードが支配的となる応答軸方向に入力するなど、従来評価において保守的な取り扱いを基本としている。

一方、応答軸が明確となっていない設備で3次元的な広がりを持つ設備の耐震評価においては、基本的に3次元のモデル化を行っており、建物・構築物の応答軸方向の地震力をそれぞれ入力し、この入力により算定される荷重や応力のうち大きい方を用いて評価を実施している。設備配置及び応答軸の概念図を3.2-1図に示す。

さらに、応答軸以外の振動モードが生じ難い構造の採用、応答軸以外の振動モードが生じ難いサポート設計の採用といった構造上の配慮など、水平方向の入力に対して配慮した設計としている。



第3-2-1図 設備配置及び応答軸の概念図

3.2.2 水平方向及び鉛直方向地震力の組合せの評価方針

機器・配管系において、水平2方向及び鉛直方向地震力を考慮した場合に影響を受ける可能性がある設備（部位）の評価を行う。

評価対象は、耐震重要施設、常設耐震重要重大事故防止設備又は常設重大事故緩和設備が設置される重大事故対処施設の機器・配管系並びにこれらの施設への波及的影響防止のために耐震評価を実施する設備とする。

対象とする設備を機種ごとに分類し、それぞれの構造上の特徴により荷重の伝達方向、その荷重を受ける構造部材の配置及び構成等により水平2方向の地震力による影響を受ける可能性のある設備（部位）を抽出する。

構造上の特徴により影響の可能性がある設備（部位）は、水平2方向及び鉛直方向地震力による影響の検討を実施する。水平各方向の地震力が1:1で入力された場合の発生値を従来の評価結果の荷重又は算出応力等を水平2方向及び鉛直方向に整理して組み合わせる又は新たな解析等により高度化した手法を用いる等により、水平2方向の地震力による設備（部位）に発生する荷重や応力を算出する。

これらの検討により、水平2方向及び鉛直方向地震力を組み合せた荷重や応力の結果が従来の発生値と同等である場合は影響がある設備として抽出せず、従来の発生値を超えて耐震性への影響が懸念される場合は、設備が有する耐震性への影響を確認する。

設備が有する耐震性への影響が確認された場合は、詳細な手法を用いた検討等、新たに設計上の対応策を講じる。

水平2方向及び鉛直方向地震力による影響評価は、基準地震動 S_s を対象とするが、複数の基準地震動 S_s における地震動の特性及び包絡関係、地震力の包絡関係を確認し、代表可能である場合は代表の基準地震動 S_s にて評価する。また、水平各方向の地震動は、それぞれの位相を変えた地震動を用いることを基本とするが、保守的な手法を用いる場合もある。

3.2.3 水平2方向及び鉛直方向地震力の組合せの影響評価方法

機器・配管系において、水平2方向及び鉛直方向地震力の影響を受ける可能性があり、水平1方向及び鉛直方向の従来評価に加え、更なる設計上の配慮が必要な設備について、構造及び発生値の増分の観点から抽出し、影響を評価する。影響評価は従来設計で用いている質点系モデルによる評価結果を用いて行うことを基本とする。影響評価のフロー

を第3-2-2図に示す。

なお、水平2方向及び鉛直方向地震力の組合せの影響を検討する際は、地震時に水平2方向及び鉛直方向それぞれの最大応答が同時に発生する可能性は極めて低いとした考え方である Square-Root-of-the-Sum-of-the-Squares 法（以下「最大応答の非同時性を考慮した SRSS 法」という。）又は組合せ係数法（1.0 : 0.4 : 0.4）を適用する。この組合せ方法については、現状の耐震評価は基本的におおむね弾性範囲でとどまる体系であることに加え、国内と海外の機器の耐震解析は、基本的に線形モデルにて実施している等類似であり、水平2方向及び鉛直方向の位相差は機器の応答にも現れることから、米国 Regulatory Guide 1.92 の「2. Combining Effects Caused by Three Spatial Components of an Earthquake」を参考としているものである。

① 評価対象となる設備の整理

耐震重要施設、常設耐震重要重大事故防止設備又は常設重大事故緩和設備が設置される重大事故等対処施設の機器・配管系並びにこれらの施設への波及的影響防止のために耐震評価を実施する設備を評価対象とし、代表的な機種ごとに分類し整理する（第3-2-2図①）。

② 構造上の特徴による抽出

機種ごとに構造上の特徴から水平2方向の地震力が重複する観点、もしくは応答軸方向以外の振動モード（ねじれ振動等）が生じる観点にて検討を行い、水平2方向の地震力による影響の可能性がある設備を抽出する（第3-2-2図②）。

③ 発生値の増分による抽出

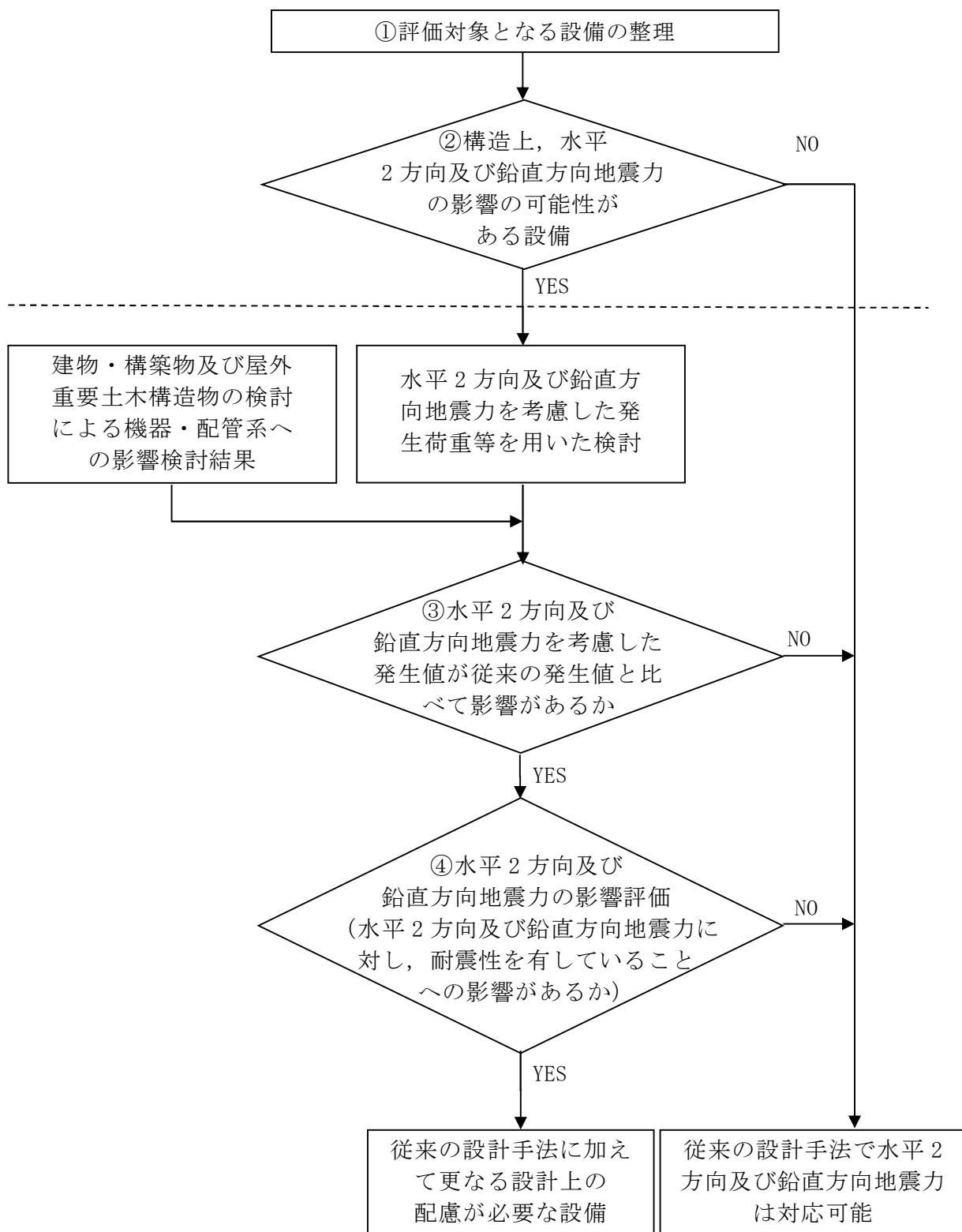
水平2方向の地震力による影響の可能性がある設備に対して、水平2方向の地震力が各方向1:1で入力された場合に各部にかかる荷重や応力を求め、従来の水平1方向及び鉛直方向地震力の組合せによる設計に対して、水平2方向及び鉛直方向地震力を考慮した発生値の増分を用いて影響を検討し、耐震性への影響が懸念される設備を抽出する。

また、建物・構築物及び屋外重要土木構築物の検討により、機器・配管系への影響の可能性がある部位が抽出された場合は、機器・配管系への影響を評価し、耐震性への影響が懸念される設備を抽出する。

影響の検討は、機種ごとの分類に対して地震力の寄与度に配慮し耐震裕度が小さい設備（部位）を対象とする（第3-2-2図③）。

④ 水平 2 方向及び鉛直方向地震力の影響評価

③の検討において算出された荷重や応力を用いて、設備の耐震性への影響を確認する（第 3-2-2 図④）。



第3-2-2図 水平2方向及び鉛直方向地震力を考慮した影響評価フロー

3.2.4 水平2方向及び鉛直方向地震力の組合せの評価設備（部位）の抽出

評価対象設備を機種ごとに分類した結果を、第3-2-1表に示す。機種ごとに分類した設備の各評価部位、応力分類に対し構造上の特徴から水平2方向の地震力による影響を水平2方向の地震力が重複する観点より検討し、影響の可能性がある設備を抽出した。

（1）水平2方向の地震力が重複する観点

水平1方向の地震力に加えて、さらに水平直交方向に地震力が重複した場合、水平2方向の地震力による影響を検討し、影響が軽微な設備以外の影響検討が必要となる可能性があるものを抽出する。以下の場合は、水平2方向の地震力により影響が軽微な設備であると整理した（別紙4.1参照）。なお、ここでの影響が軽微な設備とは、構造上の観点から発生応力への影響に着目し、その増分が1割程度以下となる機器を分類しているが、水平1方向地震力による裕度（許容応力／発生応力）が1.1未満の機器については個別に検討を行うこととする。

- a. 水平2方向の地震力を受けた場合でも、その構造により水平1方向の地震力しか負担しないもの

横置きの容器等は、水平2方向の地震力を想定した場合、水平1方向を拘束する構造であることや水平各方向で振動特性及び荷重の負担断面が異なる構造であることにより、特定の方向の地震力の影響を受ける部位であるため、水平1方向の地震力しか負担しないものとして分類した

- b. 水平2方向の地震力を受けた場合、その構造により最大応力の発生箇所が異なるもの

一様断面を有する容器類の胴板等は、水平2方向の地震力を想定した場合、それぞれの水平方向地震力に応じて応力が最大となる箇所があることから、最大応力の発生箇所が異なり、水平2方向の地震力を組み合わせても影響が軽微であるものとして分類した。その他の設備についても同様の理由から最大応力の発生箇所が異なり、水平2方向の地震力を組み合わせても影響が軽微であるものとして分類した。

- c. 水平2方向の地震力を組み合わせても水平1方向の地震による応力と同等と言えるもの

原子炉圧力容器スタビライザ及び格納容器スタビライザは、周方向 8 箇所を支持する構造で配置されており、水平 1 方向の地震力を 6 体で支持する設計としており、水平 2 方向の地震力を想定した場合、地震力を負担する部位が増え、また、最大反力を受けもつ部位が異なることで、水平 1 方向の地震力による荷重と水平 2 方向の地震力を想定した場合における荷重が同等になるものであり、水平 2 方向の地震を組み合わせても 1 方向の地震による応力と同等のものと分類した。

スタビライザと同様の支持方式を有するその他の設備についても、同様の理由から水平 2 方向の地震を組み合わせても 1 方向の地震による応力と同様のものと分類した。

d. 従来評価において、水平 2 方向の考慮をした評価を行っているもの

蒸気乾燥器支持ブラケット等は、従来評価において、水平 2 方向地震を考慮した評価を行っているため、水平 2 方向の影響を考慮しても影響がないものとして分類した。

(2) 水平方向とその直交方向が相関する振動モード（ねじれ振動等）が生じる観点

水平方向とその直交方向が相関する振動モードが生じることで優位な影響が生じる可能性のある設備を抽出する。

機器・配管系設備のうち、水平方向の各軸方向に対して均等な構造となっている機器は、評価上有意なねじれ振動は生じない。

一方、3 次元的な広がりを持つ配管系等は、系全体として考えた場合、有意なねじれ振動が発生する可能性がある。しかし、水平方向とその直交方向が相関する振動が想定される設備は、従来設計より 3 次元のモデル化を行っており、その振動モードは適切に考慮した評価としているため、この観点から抽出される機器は無かった。

(3) 水平 1 方向及び鉛直方向地震力に対する水平 2 方向及び鉛直方向地震力の増分の観点

(1) 及び(2)にて影響の可能性がある設備について、水平 2 方向の地震力が各方向 1 : 1 で入力された場合に各部にかかる荷重や応力を求め、従来の水平 1 方向及び鉛直方向地震力の設計手法による発生値と比較し、その増分により影響の程度を確認し、耐震性へ

の影響が懸念される設備を抽出した。

水平 1 方向に対する水平 2 方向の地震力による発生値の増分の検討は、機種毎の分類に対して地震力の寄与度に配慮し耐震裕度が小さい設備（部位）を対象とする。別紙 4.4 に対象の考え方を示し、別紙 1.4 表に(1)及び(2)において抽出された設備のうち対象とした部位や応力分類の詳細を示す。水平 2 方向の地震力の組合せは米国 Regulatory Guide 1.92 の「2. Combining Effects Caused by Three Spatial Components of an Earthquake」を参考として非同時性を考慮した SRSS 法により組合せ、発生値の増分を算出する。増分の算出は、従来の評価で考慮している保守性により増分が低減又は包絡されることも考慮する。算出の方法を以下に示す。

- ・従来の評価データを用いた簡易的な算出では、地震・地震以外の応力に分離可能なものは地震による発生値のみを組み合わせた後、地震以外による応力と組み合わせて算出する。
- ・設備（部位）によっては解析等で求められる発生荷重より大きな設計荷重を用いているものもあるため、設計荷重が上記組合せによる発生値を上回ることを確認したものは、水平 2 方向の地震力による発生値の増分はないものとして扱う。
- ・応答軸が明確な設備で、設備の応答軸の方向あるいは厳しい応力が発生する向きへ地震力を入力している場合は、耐震性への影響が懸念されないものとして扱う。

今回工認の耐震計算では、一部設備については、建物・構築物、土木構造物及び建屋－機器連成解析モデルにおける地震応答解析から得られる最大応答加速度（ZPA）、設計用床応答曲線及び地震荷重（せん断力、モーメント及び軸力）に係数倍した耐震評価条件（以下、本資料では「設計用地震力」という。）を用いている。水平 2 方向の地震力は、水平方向の地震力に対する方向性を踏まえれば、水平 1 方向の地震力を $\sqrt{2}$ 倍以上した地震力を耐震評価条件とすれば、水平 2 方向の地震力による増分を考慮したといえる。これより、 $\sqrt{2}$ 倍以上の設計用地震力を適用した設備については、水平 2 方向及び鉛直方向による地震力に対する影響の懸念はないと整理する。

3.2.5 建物・構築物及び屋外重要土木構造物の検討結果を踏まえた機器・配管系の設備の抽出
(追而)

3.2.6 水平 2 方向及び鉛直方向地震力の評価部位の抽出結果

3.2.4(1) 及び(2)で抽出した結果を別紙 4.1, 3.2.4(3)で抽出した結果を別紙 4.2 に示す。

3.2.7 水平 2 方向及び鉛直方向地震力の組合せの影響評価

別紙 4.2において抽出された設備について、水平 2 方向及び鉛直方向地震力を想定した発生値（発生荷重、発生応力、応答加速度）を以下の方法により算出する。発生値の算出における水平 2 方向及び鉛直方向地震力の組合せは、米国 Regulatory Guide 1.92 の「2. Combining Effects Caused by Three Spatial Components of an Earthquake」を参考として非同時性を考慮した SRSS 法を適用する。

(1) 従来評価データを用いた算出

従来の水平 1 方向及び鉛直方向地震力を組み合わせた評価結果を用いて、以下の条件により水平 2 方向及び鉛直方向の地震力に対する発生値を算出することを基本とする。

- ・水平各方向及び鉛直方向地震力をそれぞれ個別に用いて従来の発生値を算出している設備は、水平 2 方向及び鉛直方向地震力を組み合わせて水平 2 方向を考慮した発生値の算出を行う。

$$\text{水平 2 方向発生値} = \sqrt{(NS \text{ 方向発生値})^2 + (EW \text{ 方向発生値})^2 + (UD \text{ 方向発生値})^2}$$

- ・水平 1 方向と鉛直方向の地震力を組合せた上で従来の発生値を各方向で算出している設備は、鉛直方向を含んだ水平各方向別の発生値を組み合わせて水平 2 方向を考慮した発生値の算出を行う。

$$\text{水平 2 方向発生値} = \sqrt{(NS+UD \text{ 方向地震力による発生値})^2 + (EW+UD \text{ 方向地震力による発生値})^2}$$

- ・水平各方向を包絡した床応答曲線による地震力と鉛直方向の地震力を組み合わせた上で従来の発生値を算出している設備は、鉛直方向を含んだ水平各方向同一の発生

値を組み合わせて水平 2 方向を考慮した発生値の算出を行う。

水平 2 方向発生値 = $\sqrt{(NS+UD \text{ 方向地震力による発生値})^2 + (NS+UD \text{ 方向地震力による発生値})^2}$

または、 $\sqrt{(EW+UD \text{ 方向地震力による発生値})^2 + (EW+UD \text{ 方向地震力による発生値})^2}$

また、算出にあたっては必要に応じて以下も考慮する。

- ・発生値が地震以外の応力成分を含む場合、地震による応力成分と地震以外の応力成分を分けて算出する。

3.2.8 水平 2 方向及び鉛直方向地震力の影響評価結果

3.2.7 項の影響評価条件において算出した発生値に対して設備の耐震性への影響を確認する。評価した内容を設備（部位）毎に以下に示し、その影響評価結果については重大事故等の状態も考慮した結果について別紙 4.3 に示す。

3.2.9 まとめ

機器・配管系において、水平 2 方向の地震力の影響を受ける可能性がある設備（部位）について、従来設計手法における保守性も考慮した上で抽出し、従来の水平 1 方向及び鉛直方向地震力の組合せによる設計に対して影響を評価した。その結果、従来設計の発生値を超えて耐震性への影響が懸念される設備については、水平 2 方向及び鉛直方向地震力を想定した発生値が許容値を満足し、設備が有する耐震性に影響のないことを確認した。

本影響評価は、水平 2 方向及び鉛直方向地震力により設備が有する耐震性への影響を確認することを目的としている。そのため、従来設計の発生値をそのまま用いて水平 2 方向及び鉛直方向地震力の組合せを評価しており、鉛直方向地震力による応力成分が重複されたまま水平 2 方向及び鉛直方向地震力を想定した発生値として算出しているなど簡易的に保守側となる扱いをしている。また、従来設計において水平各方向を包絡した床応答曲線を応答軸方向に入力している設備は上記以外にも保守側となる要因を含んでいる。

以上のことから、水平 2 方向及び鉛直方向地震力については、機器・配管系が有する

耐震性に影響がないことを確認した。

第3-2-1表 水平2方向入力の影響検討対象設備

設 備	部 位
炉心支持構造物	上部胴 下部胴 下部胴
	レグ シラウドサポート 下部胴
	上部格子板 炉心支持板
	補強ビーム 支持板
	燃料支持金具 中央燃料支持金具 周辺燃料支持金具
	制御棒案内管 長手中央部 下部溶接部
原子炉圧力容器	胴板 下鏡 下鏡と胴板の接合部 下鏡とスカートの接合部
	制御棒駆動機構ハウジング貫通部 スタブチューブ ハウジング 下部鏡板リガメント
	中性子計測ハウジング 貫通部 ハウジング
	ノズル 各部位
	プラケット類 原子炉圧力容器スタビライザープラケット スチームドライヤサポートプラケット 炉心スプレイブラケット 給水スパージャプラケット
原子炉圧力容器 支持構造物	原子炉圧力容器支持スカート スカート
	原子炉圧力容器基礎ボルト 基礎ボルト

設 備		部 位
原子炉压力容器 付属構造物	原子炉压力容器スタビライザ	各部位
	原子炉格納容器スタビライザ	ボルト
	制御棒駆動機構ハウジング支持金具	レストレイントビーム ボルト
原子炉压力容器 内部構造物	蒸気乾燥器	ユニットサポート
		耐震用ブロック
	気水分離器及びスタンドパイプ	各部位
	シュラウドヘッド 中性子束案内管	各部位
	スパーージャ 炉内配管	各部位
	ジェットポンプ	ライザ ディフューザ ライサブレース
貯蔵ラック (共通ベース含む)		ラック部材
		基礎ボルト ラック取付ボルト
乾式貯蔵容器		各部位
四脚たて置き円筒形容器		胴板
		脚
横置円筒形容器		胴板
		脚
		基礎ボルト
立形ポンプ		コラムパイプ バ렐ケーシング
		基礎ボルト 取付ボルト
ECCS ストレーナ		各部位

設 備	部 位	
横形ポンプ ポンプ駆動用タービン 海水ストレーナ 空調ファン 空調ユニット 空気圧縮機	基礎ボルト 取付ボルト	
制御棒駆動機構	各部位	
水圧制御ユニット	フレーム 基礎ボルト	
平底たて置円筒容器	胴板 基礎ボルト	
核計装設備	各部位	
伝送器（壁掛）	取付ボルト	
伝送器（円形吊下）	取付ボルト	
制御盤	取付ボルト	
原子炉格納容器	サプレッションチェン バ底部ライナ	ライナプレート リングガータ部
	ドライウェル円錐部及びサプレッションチェンバ円筒部シェル部及びサンドクッション部	各部位
	ドライウェルビームシート	各部位 ビームシート
	ドライウェル上部シアラグ及びスタビライザ ドライウェル下部シアラグ及びスタビライザ	各部位 上部シアラグと格納容器胴との接合部 下部シアラグと格納容器胴との接合部
	機器搬入用ハッチ 所員用エアロック サプレッション・エンバクセスハッチ	本体と補強板との接合部 補強板と格納容器胴一般部との接合部
	原子炉格納容器胴アンカ一部	各部位 コンクリート
	配管貫通部	原子炉格納容器胴とスリーブとの接合部
	電気配線貫通部	スリーブ付根部 補強板付根部

設 備	部 位
ダイヤフラムフロア	基礎コンクリートスラブ
	大梁
	小梁
	柱
ベント管	シアコネクタ
	上部 ブレージング部
格納容器スプレイヘッダ	スプレイ管部
	ティー部
	案内管部
可燃性ガス濃度制御系再結合装置プロワ	プレース
	ベース取付溶接部
ディーゼル発電機	基礎ボルト
	取付ボルト
プレート式熱交換器	側板
	脚
	基礎ボルト
ラグ支持たて置き円筒形容器	胴板
	振れ止め
	シアラグ
	取付ボルト
その他電源設備	取付ボルト
配管本体, サポート (多質点梁モデル解析)	配管, サポート
矩形構造の架構設備 (静的触媒式水素再結合装置, 架台を含む)	各部位
通信連絡設備 (アンテナ)	基礎ボルト
水位計	取付ボルト
温度計	溶接部
監視カメラ	取付ボルト
	据付部材
貫通部止水処置	シール材
浸水防止蓋	蓋
	基礎ボルト
逆流防止逆止弁	各部位
原子炉ウェル遮へいプラグ	本体
原子炉本体の基礎	円筒部 中間スラブ

設 備	部 位
	下層円筒基部
燃料取替機	燃料取替機構造物フレーム ブリッジ脱線防止ラグ(本体) トロリ脱線防止ラグ(本体) 走行レール 横行レール
	ブリッジ脱線防止ラグ(取付ボルト) トロリ脱線防止ラグ(取付ボルト)
	吊具
建屋クレーン	クレーン本体ガーダ 落下防止金具 トロリストッパ トロリ 吊具
原子炉遮蔽	一般胴部 開口集中部

別紙4.1 棟足説明資料

目 次

1. 水平2方向同時加振の影響評価について（原子炉圧力容器スタビライザ及び原子炉格納容器スタビライザ）
2. 水平2方向同時加振の影響評価について（蒸気乾燥器支持ブラケット）
3. 水平2方向同時加振の影響評価について（円筒形容器）
4. 水平2方向同時加振の影響評価について（ダイヤフラムフロア）
5. 水平2方向同時加振の影響評価について（燃料取替機）
6. 水平2方向同時加振の影響評価について（矩形配置されたボルト）
7. 水平2方向同時加振の影響評価について（電気盤）
8. 水平2方向同時加振の影響評価について（動的機能維持）
9. 水平2方向同時加振の影響について（応答軸が明確である設備）

1. 水平2方向同時加振の影響評価について（原子炉圧力容器スタビライザ及び原子炉格納容器スタビライザ）

1.1 はじめに

本項は、原子炉圧力容器スタビライザ（以下「RPVスタビライザ」という。）及び原子炉格納容器スタビライザ（以下「PCVスタビライザ」という。）に対する水平2方向同時加振の影響についてまとめたものである。

RPVスタビライザとPCVスタビライザは、地震時の水平方向荷重を周方向45°間隔で8体の構造部材にて支持する同様の設計であるため、以下水平2方向同時加振の影響については、RPVスタビライザを代表に記載する。

1.2 現行評価の手法

RPVスタビライザは、周方向45°間隔で8体配置されており、第1-1図に地震荷重と各RPVスタビライザが分担する荷重の関係を示す。

水平方向の地震荷重に関して現行評価では、RPVスタビライザ6体に各水平方向地震力（X方向、Y方向）の最大地震力が負荷されるものとしている。

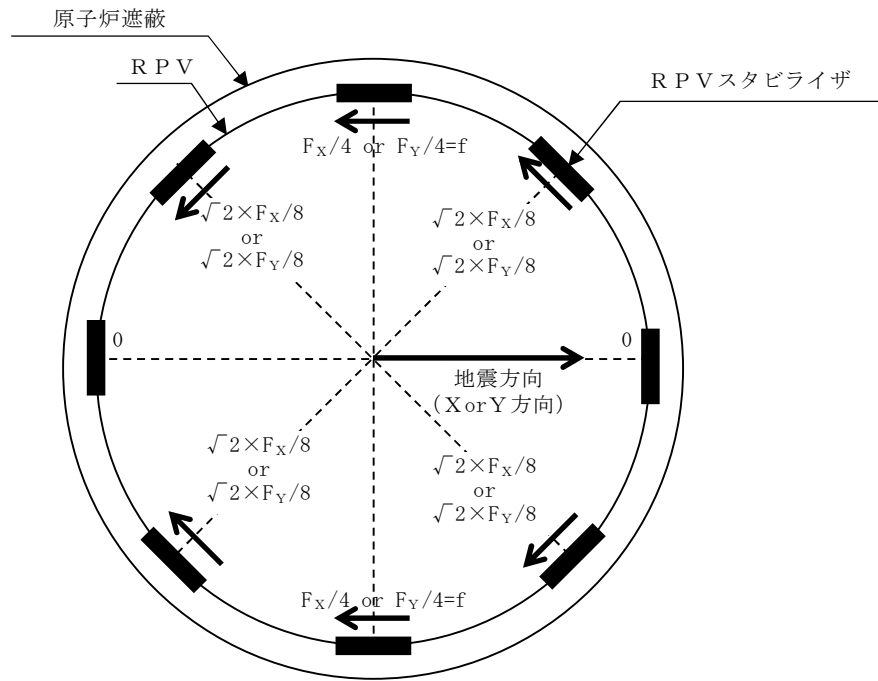
$$f = \text{MAX} \left(\frac{F_x}{4}, \frac{F_y}{4} \right)$$

ここで、

f : RPVスタビライザ1個が受けもつ最大地震荷重

F_x : X方向地震によりスタビライザ全体に発生する荷重

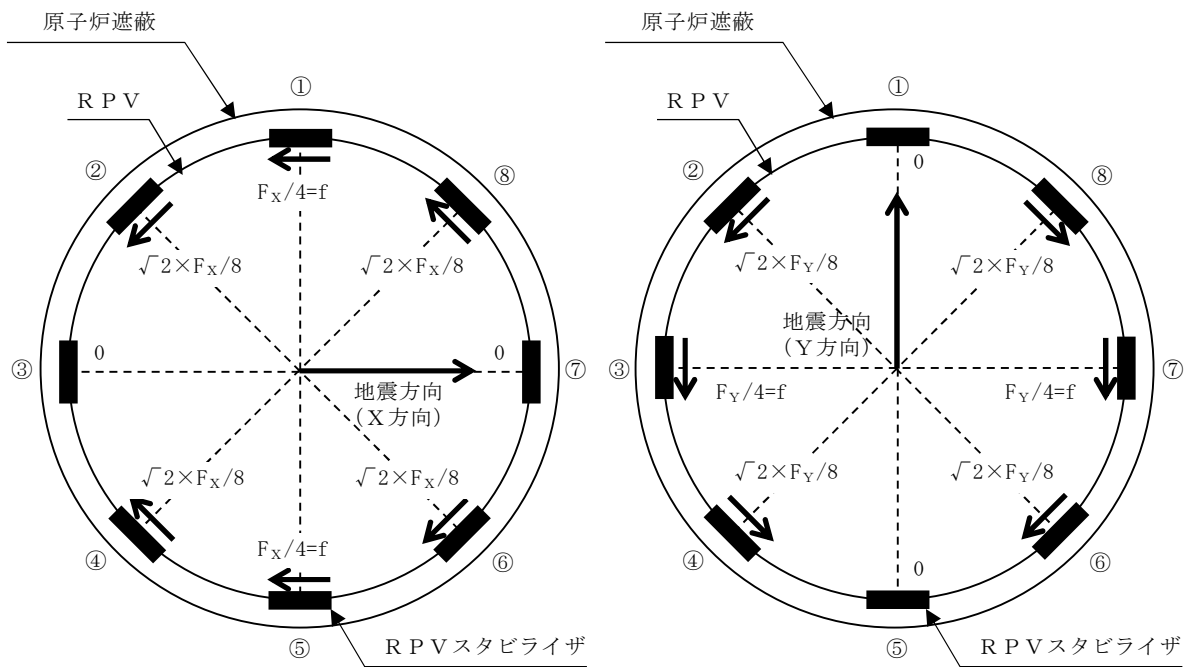
F_y : Y方向地震によりスタビライザ全体に発生する荷重



第1-1図 原子炉圧力容器スタビライザの水平地震荷重の分担（水平1方向）

1.3 水平2方向同時加振の影響

RPVスタビライザは、水平2方向の地震力を受けた場合における荷重分担について、第1-2図及び第1-1表に示す。第1-2図及び第1-1表に示すとおり、方向別地震荷重 F (F_x または F_y) に対する最大反力を受け持つ部位が異なることが分かる。



【X方向加振時】

【Y方向加振時】

第1-2図 原子炉圧力容器スタビライザの水平地震荷重の分担（水平2方向）

第1-1表 原子炉圧力容器スタビライザ各点での分担荷重

位置	方向別地震力 F に対する反力	
	X 方向	Y 方向
①	$F_x/4$	0
②	$\sqrt{2} \times F_x/8$	$\sqrt{2} \times F_y/8$
③	0	$F_y/4$
④	$\sqrt{2} \times F_x/8$	$\sqrt{2} \times F_y/8$
⑤	$F_x/4$	0
⑥	$\sqrt{2} \times F_x/8$	$\sqrt{2} \times F_y/8$
⑦	0	$F_y/4$
⑧	$\sqrt{2} \times F_x/8$	$\sqrt{2} \times F_y/8$
最大	$F_x/4$	$F_y/4$

水平2方向地震力の組合せの考慮については、第1-1表に示した水平方向反力を用いてX方向・Y方向同時には最大の地震力が発生しないと仮定し、以下の2つの方法にて検討を行った。

- ① 組合せ係数法： $F_Y = 0.4F_X$ と仮定し、X方向・Y方向のそれぞれの水平1方向応答結果を単純和する。
- ② 最大応答の非同時性を考慮したS R S S法： $F_Y = F_X$ と仮定し、X方向・Y方向のそれぞれの水平1方向応答結果をS R S S法にて合成する。

上記検討の結果を第1-2表に示す。いずれの検討方法を用いても、水平2方向反力の組合せ結果の最大値はfとなり、これは水平1方向反力の最大値と同値である。

したがって、RPVスタビライザに対して水平2方向の影響はない。

第1-2表 RPVスタビライザ各点における水平2方向の考慮

		①組合せ係数法を用いた 水平2方向反力の組合せ ($F_Y = 0.4 F_X$)	②S R S S法を用いた 水平2方向反力の組合せ ($F_Y = F_X$)
①	0°	$F_X/4 = f$	$F_X/4 = f$
②	45°	$\sqrt{2 \times F_X/8 + 2 \times F_X/8} = \sqrt{2 \times 1.4 \times F_X/8}$ $= 0.990 \times F_X/4 < f$	$\sqrt{(2 \times F_X/8)^2 + (2 \times F_X/8)^2} = F_X/4 < f$
③	90°	$F_Y/4 = 0.4 \times F_X/4 < f$	$F_Y/4 = F_X/4 < f$
④	135°	$\sqrt{2 \times F_X/8 + 2 \times F_X/8} = \sqrt{2 \times 1.4 \times F_X/8}$ $= 0.990 \times F_X/4 < f$	$\sqrt{(2 \times F_X/8)^2 + (2 \times F_X/8)^2} = F_X/4 < f$
⑤	180°	$F_X/4 = f$	$F_X/4 = f$
⑥	225°	$\sqrt{2 \times F_X/8 + 2 \times F_X/8} = \sqrt{2 \times 1.4 \times F_X/8}$ $= 0.990 \times F_X/4 < f$	$\sqrt{(2 \times F_X/8)^2 + (2 \times F_X/8)^2} = F_X/4 < f$
⑦	270°	$F_Y/4 = 0.4 \times F_X/4 < f$	$F_Y/4 = F_X/4 < f$
⑧	315°	$\sqrt{2 \times F_X/8 + 2 \times F_X/8} = \sqrt{2 \times 1.4 \times F_X/8}$ $= 0.990 \times F_X/4 < f$	$\sqrt{(2 \times F_X/8)^2 + (2 \times F_X/8)^2} = F_X/4 < f$
最大		$F_X/4 = f$	$F_Y/4 = f$

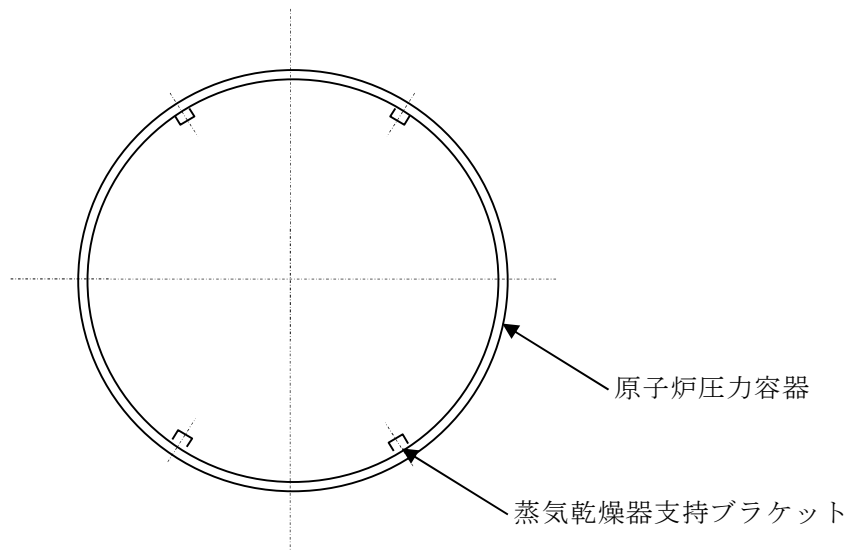
2. 水平2方向同時加振の影響評価について（蒸気乾燥器支持ブラケット）

2.1 はじめに

本項は、蒸気乾燥器支持ブラケットに対する水平2方向同時加振の影響についてまとめたものである。

2.2 現行評価の手法

蒸気乾燥器支持ブラケットは、4体配置されており、位置関係は第2-1図の通りとなる。



第2-1図 蒸気乾燥器支持ブラケット配置図

蒸気乾燥器支持ブラケットは、4体で耐震用ブロックを介し蒸気乾燥器ユニットを支持する設計である。しかし、耐震用ブロックと蒸気乾燥器支持ブラケットの間にはクリアランスが存在し、水平地震動の入力方向によっては、4体のうち対角のブラケット2体のみがその荷重を負担する可能性があるため、現行評価では対角のブラケット2体により、水平2方向の地震荷重を支持するものとして評価している。

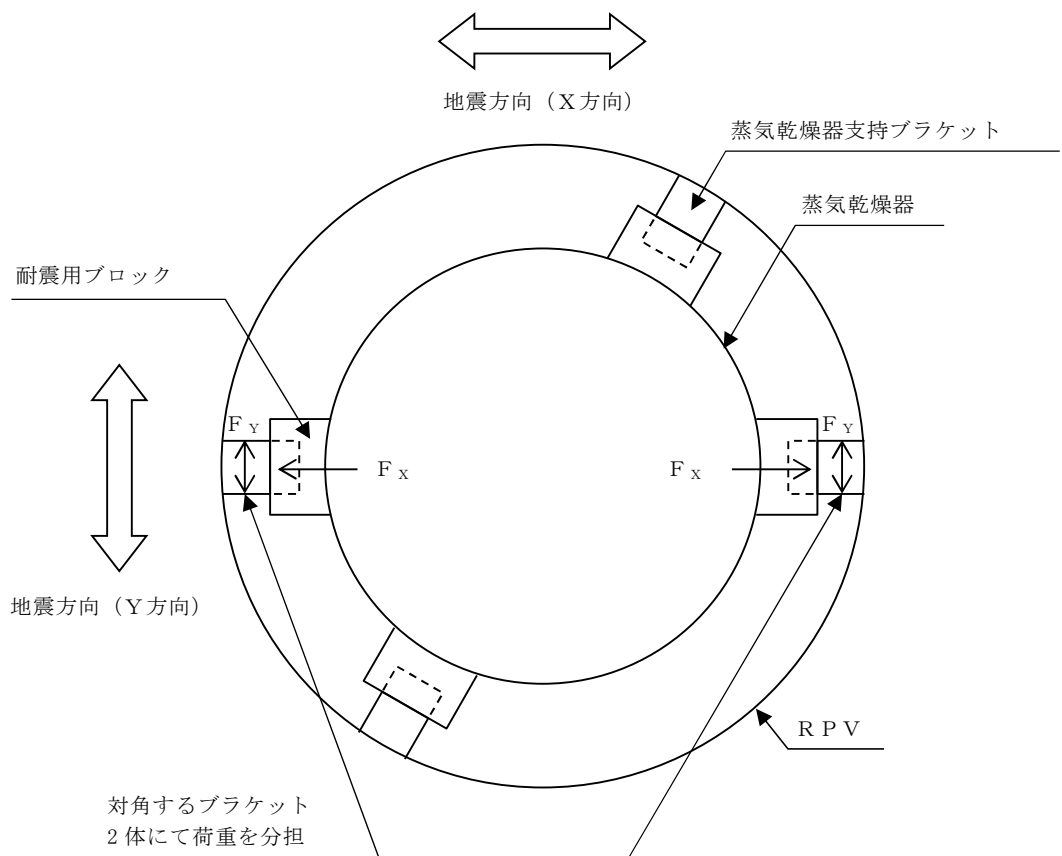
第2-2図に評価においてブラケットに負荷される水平方向の地震荷重を示す。

$$f = \text{MAX}\left(\frac{F_x}{2}, \frac{F_y}{2}\right)$$

f : 蒸気乾燥器ユニットから受ける地震荷重

F_x : X方向地震よりブラケット全体に発生する荷重

F_y : Y方向地震よりブラケット全体に発生する荷重



第2-2図 評価におけるブラケットの負荷状態

2.3 水平2方向同時加振の影響

蒸気乾燥器支持ブラケットは、現行評価において、水平2方向の地震荷重を同時に考慮し、ブラケットと耐震ブロックの接触状態として想定される最も厳しい状態として、4体のブラケットのうち2体で荷重を支持すると評価しており、水平2方向同時加振による現行の評価結果への影響はない。

3 水平2方向同時加振の影響評価について（円筒形容器）

3.1 はじめに

本項は、水平地震動が水平2方向に作用した場合の円筒形容器に対する影響検討をFEMモデルを用いた解析で確認した結果をまとめたものである。

容器については、X方向地震とY方向地震とでは最大応力点が異なるため、それぞれの地震による応力を組み合わせても影響軽微としている。本項では解析にて影響確認することを目的として、円筒形容器のFEMモデルを用いた解析を実施した結果を示す。ここで、本検討は軸方向応力、周方向応力及びせん断応力の組合せにより確認を行うため、胴の組合せ一次応力を対象としたものである。

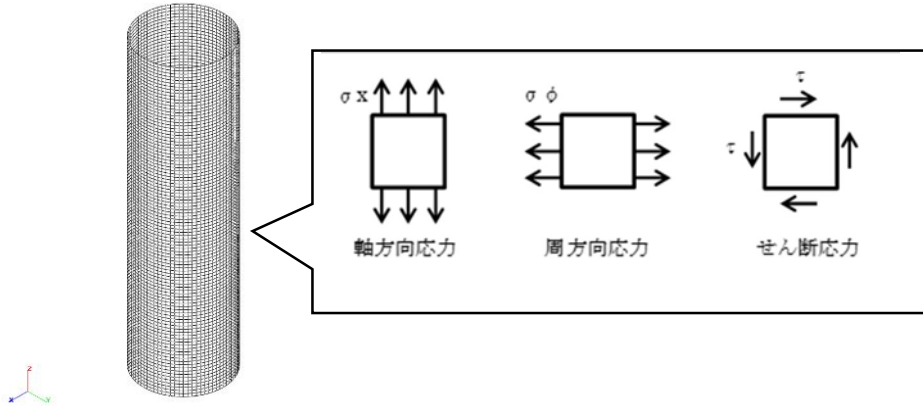
具体的な確認項目として、以下2点を確認した。

- ① X方向地震とY方向地震とで最大応力点が異なることへの確認
- ② 最大応力点以外に、X方向地震とY方向地震による応力を組み合わせた場合に影響のあるような点があるかを確認

3.2 影響評価検討

評価検討モデルを第3-1図に示す。検討方法を以下に示す

- ・検討方法：水平地震力1Gを、X方向（0°方向）へ入力し、周方向の0°方向から90°方向にかけて応力分布を確認する。また、水平1方向地震による応力を用いて水平2方向地震による応力を評価する。
- ・検討モデル：たて置き円筒形容器をシェル要素にてモデル化
- ・拘束点：容器基部を拘束
- ・荷重条件：モデル座標のX方向に水平地震力1Gを負荷
- ・解析方法：静的解析
- ・対象部位及び応力：容器基部における応力
- ・水平2方向同時加振時の組合せ方法
 - 組合せ係数法（最大応答の非同時性を考慮）
 - S RSS法（最大応答の非同時性を考慮）



第3-1図 評価検討モデル

3.3 検討結果

3.3.1 軸方向応力 σ_x

容器基部における水平地震時の軸方向応力コンタ図を第3-2図に示す。

この結果により、最大応力点は 0° / 180° 位置に発生していることが分かる。円筒形容器のため評価部位が円形の一様断面であることから、Y方向から水平地震力を入力した場合においても、最大応力点は 90° / 270° 位置に発生することは明白であるため、水平方向地震動の入力方向により最大応力点は異なる。

また、第3-1表にX方向、Y方向、2方向入力時の軸方向応力分布を示す。

中間部 (0° / 90° 方向以外)において2方向入力時の影響が確認できる。なお、組合せ係数法及びS R S S 法のそれぞれを用いた水平2方向入力時の応力 $\sigma_{x,c}(\theta)$ 及び $\sigma_{x,s}(\theta)$ は、水平1方向入力時の軸方向応力解析結果 (X方向入力時応力 $\sigma_{x,x}(\theta)$ 、Y方向入力時応力 $\sigma_{x,y}(\theta)$) により、以下のとおり算出する。

<組合せ係数法>

$$\sigma_{x,c}(\theta) = \max (\sigma_{x,c(x)}(\theta), \sigma_{x,c(y)}(\theta))$$

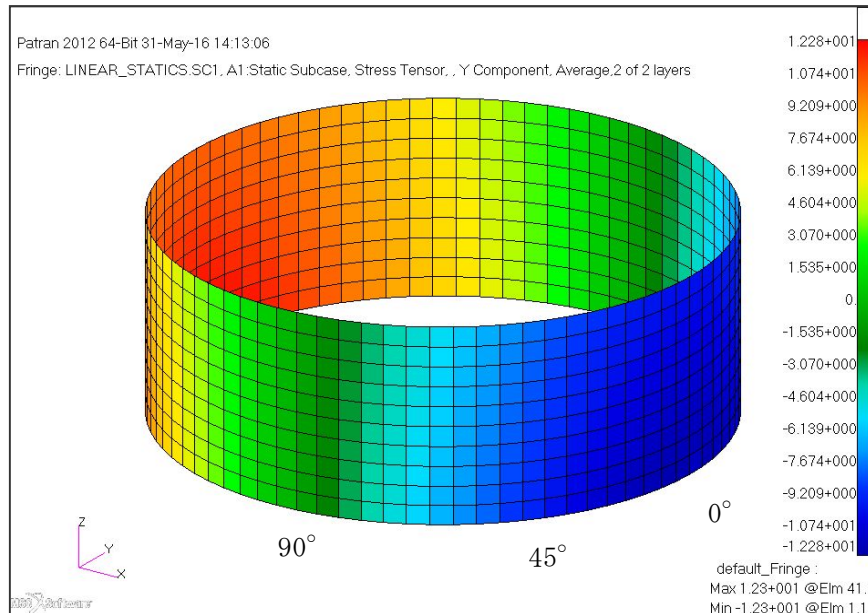
ただし、 $\sigma_{x,c(x)}(\theta)$ は $\sigma_{x,x}(\theta)$ に 1, $\sigma_{x,y}(\theta)$ に 0.4 の係数を乗じて X・Y 方向入力時それぞれの軸応力を組み合わせた応力、 $\sigma_{x,c(y)}(\theta)$ は $\sigma_{x,y}(\theta)$ に 1, $\sigma_{x,x}(\theta)$ に 0.4 の係数を乗じて X・Y 方向入力時それぞれの応力を組み合わせた応力であり、以下のように表わされる。

$$\sigma_{x,c(x)}(\theta) = \sigma_{x,x}(\theta) + 0.4 \times \sigma_{x,y}(\theta)$$

$$\sigma_{x,c(y)}(\theta) = 0.4 \times \sigma_{x,x}(\theta) + \sigma_{x,y}(\theta)$$

< S R S S 法 >

$$\sigma_{x,s}(\theta) = \sqrt{\sigma_{x,x}(\theta)^2 + \sigma_{x,y}(\theta)^2}$$



第3-2図 水平地震時軸方向応力コンタ図

第3-1表 水平地震時の軸方向応力分布

角度	X方向入力時 応力(MPa) $\sigma_{x,x}(\theta)$	Y方向入力時 応力(MPa) $\sigma_{x,y}(\theta)$	2方向入力時応力(MPa)	
			組合せ係数法 $\sigma_{x,c}(\theta)$	S R S S 法 $\sigma_{x,s}(\theta)$
0° 方向	12.28	0.00	12.28 $\sigma_{x,c(x)}(0^\circ) = 12.28$ $\sigma_{x,c(y)}(0^\circ) = 4.91$	12.28
22.5° 方向	11.34	4.70	13.22 $\sigma_{x,c(x)}(22.5^\circ) = 13.22$ $\sigma_{x,c(y)}(22.5^\circ) = 9.24$	12.28
45° 方向	8.68	8.68	12.15 $\sigma_{x,c(x)}(45^\circ) = 12.15$ $\sigma_{x,c(y)}(45^\circ) = 12.15$	12.28
67.5° 方向	4.70	11.34	13.22 $\sigma_{x,c(x)}(67.5^\circ) = 9.24$ $\sigma_{x,c(y)}(67.5^\circ) = 13.22$	12.28
90° 方向	0.00	12.28	12.28 $\sigma_{x,c(x)}(90^\circ) = 4.91$ $\sigma_{x,c(y)}(90^\circ) = 12.28$	12.28

3.3.2 周方向応力 σ_ϕ

容器基部における水平地震時の周方向応力コンタ図を第3-3図に、周方向応力分布を第3-2表に示す。軸方向応力同様に最大応力点は 0° / 180° 位置に発生しており、最大応力点が異なることについて確認できる。

また、2方向入力時の影響についても軸方向応力と同様に中間部 (0° / 90° 方向以外)において2方向入力時の影響が確認できる。なお、組合せ係数法及びS R S S 法のそれぞれを用いた水平2方向入力時の応力 $\sigma_{\phi,c}(\theta)$ 及び $\sigma_{\phi,s}(\theta)$ は、水平1方向入力時の周方向応力解析結果 (X方向入力時応力 $\sigma_{\phi,X}(\theta)$), Y方向入力時応力 $\sigma_{\phi,Y}(\theta)$) により、以下のとおり算出する。

<組合せ係数法>

$$\sigma_{\phi,c}(\theta) = \max (\sigma_{\phi,c(X)}(\theta), \sigma_{\phi,c(Y)}(\theta))$$

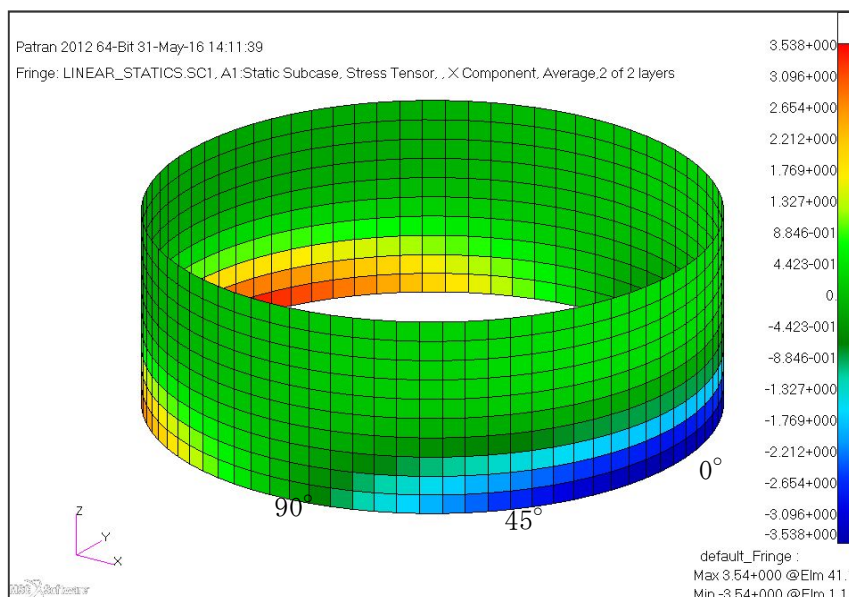
ただし、 $\sigma_{\phi,c(X)}(\theta)$ は $\sigma_{\phi,X}(\theta)$ に 1, $\sigma_{\phi,Y}(\theta)$ に 0.4 の係数を乗じて X・Y 方向入力時それぞれの軸応力を組み合わせた応力、 $\sigma_{\phi,c(Y)}(\theta)$ は $\sigma_{\phi,Y}(\theta)$ に 0.4, $\sigma_{\phi,X}(\theta)$ に 1 の係数を乗じて X・Y 方向入力時それぞれの応力を組み合わせた応力であり、以下のように表わされる。

$$\sigma_{\phi,c(X)}(\theta) = \sigma_{\phi,X}(\theta) + 0.4 \times \sigma_{\phi,Y}(\theta)$$

$$\sigma_{\phi,c(Y)}(\theta) = 0.4 \times \sigma_{\phi,X}(\theta) + \sigma_{\phi,Y}(\theta)$$

< S R S S 法 >

$$\sigma_{\phi,s}(\theta) = \sqrt{\sigma_{\phi,X}(\theta)^2 + \sigma_{\phi,Y}(\theta)^2}$$



第3-3図 水平地震時周方向応力コンタ図

第3-2表 水平地震時の周方向応力分布

角度	X方向入力時 応力(MPa) $\sigma_{\phi,X}(\theta)$	Y方向入力時 応力(MPa) $\sigma_{\phi,Y}(\theta)$	2方向入力時応力(MPa)	
			組合せ係数法 $\sigma_{\phi,c}(\theta)$	S R S S法 $\sigma_{\phi,s}(\theta)$
0° 方向	3.54	0.00	3.54 $\sigma_{\phi,c(X)}(0^\circ) = 3.54$ $\sigma_{\phi,c(Y)}(0^\circ) = 1.42$	3.54
22.5° 方向	3.27	1.35	3.81 $\sigma_{\phi,c(X)}(22.5^\circ) = 3.81$ $\sigma_{\phi,c(Y)}(22.5^\circ) = 2.66$	3.54
45° 方向	2.50	2.50	3.50 $\sigma_{\phi,c(X)}(45^\circ) = 3.50$ $\sigma_{\phi,c(Y)}(45^\circ) = 3.50$	3.54
67.5° 方向	1.35	3.27	3.81 $\sigma_{\phi,c(X)}(67.5^\circ) = 2.66$ $\sigma_{\phi,c(Y)}(67.5^\circ) = 3.81$	3.54
90° 方向	0.00	3.54	3.54 $\sigma_{\phi,c(X)}(90^\circ) = 1.42$ $\sigma_{\phi,c(Y)}(90^\circ) = 3.54$	3.54

3.3.3 せん断応力 τ

容器基部における水平地震時のせん断応力コンタ図を第3-4図に、周方向応力分布を第3-3表に示す。せん断応力は軸方向及び周方向応力とは異なり、最大応力は90°／270°位置に生じているが、最大応力最小応力の生じる点が回転しているのみで応力の傾向として最大応力点が異なることについて確認できる。

また、2方向入力時の影響についても同様に中間部(0°／90°方向以外)において2方向入力時の影響が確認できる。なお、組合せ係数法及びS R S S法のそれぞれを用いた水平2方向入力時の応力 $\tau_c(\theta)$ 及び $\tau_s(\theta)$ は、水平1方向入力時の周方向応力解析結果(X方向入力時応力 $\tau_x(\theta)$)、Y方向入力時応力 $\tau_y(\theta)$ により、以下のとおり算出する。

<組合せ係数法>

$$\tau_c(\theta) = \max (\tau_{c(X)}(\theta), \tau_{c(Y)}(\theta))$$

ただし、 $\tau_{c(X)}(\theta)$ は $\tau_x(\theta)$ に 1、 $\tau_y(\theta)$ に 0.4 の係数を乗じて X・Y 方向入力時それぞれの軸応力を組み合わせた応力、 $\tau_{c(Y)}(\theta)$ は $\tau_y(\theta)$ に 1、 $\tau_x(\theta)$ に 0.4 の係数を乗じて X・Y 方向入力時それぞれの応力を組み合わせた応力であり、以下のように表わさ

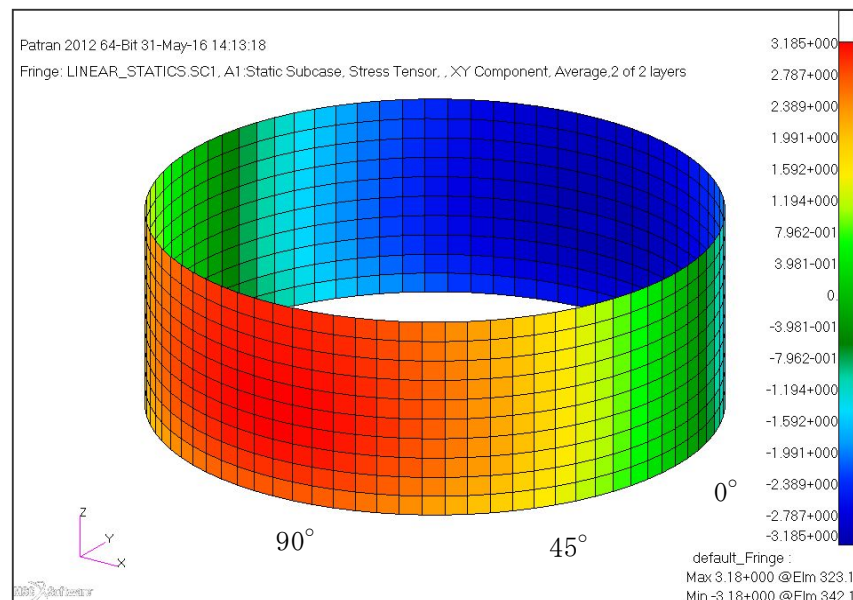
れる。

$$\tau_{c(x)}(\theta) = \tau_x(\theta) + 0.4 \times \tau_y(\theta)$$

$$\tau_{c(y)}(\theta) = 0.4 \times \tau_x(\theta) + \tau_y(\theta)$$

< S R S S 法 >

$$\tau_s(\theta) = \sqrt{\tau_x(\theta)^2 + \tau_y(\theta)^2}$$



第3-4図 水平地震時せん断応力コンタ図

第3-3表 水平地震時のせん断応力分布

角度	X方向入力時 応力(MPa) $\tau_x(\theta)$	Y方向入力時 応力(MPa) $\tau_y(\theta)$	2方向入力時応力(MPa)	
			組合せ係数法 $\tau_c(\theta)$	S R S S 法 $\tau_s(\theta)$
0° 方向	0.00	2.70	2.70 $\tau_{c(x)}(0^\circ) = 1.08$ $\tau_{c(y)}(0^\circ) = 2.70$	2.70
22.5° 方向	1.03	2.49	2.91 $\tau_{c(x)}(22.5^\circ) = 2.03$ $\tau_{c(y)}(22.5^\circ) = 2.91$	2.70
45° 方向	1.91	1.91	2.67 $\tau_{c(x)}(45^\circ) = 2.67$ $\tau_{c(y)}(45^\circ) = 2.67$	2.70
67.5° 方向	2.49	1.03	2.91 $\tau_{c(x)}(67.5^\circ) = 2.91$ $\tau_{c(y)}(67.5^\circ) = 2.03$	2.70
90° 方向	2.70	0.00	2.70 $\tau_{c(x)}(90^\circ) = 2.70$ $\tau_{c(y)}(90^\circ) = 1.08$	2.70

3.3.4 組合せ応力強さ σ

胴の組合せ応力強さ σ は、第3-1表から第3-3表に示したX方向、Y方向、2方向入力時それぞれの軸方向応力 σ_x 、周方向応力 σ_ϕ 及びせん断応力 τ を用いて算出する。

<水平1方向のうち、X方向入力時の組合せ応力強さ $\sigma_x(\theta)$ >

主応力 $\sigma_{1,x}(\theta)$, $\sigma_{2,x}(\theta)$, $\sigma_{3,x}(\theta)$ は以下のとおり表わされる。

$$\sigma_{1,x}(\theta) = \frac{1}{2} \left\{ \sigma_{x,x}(\theta) + \sigma_{\phi,x}(\theta) + \sqrt{(\sigma_{x,x}(\theta) - \sigma_{\phi,x}(\theta))^2 + 4\tau_x(\theta)^2} \right\}$$

$$\sigma_{2,x}(\theta) = \frac{1}{2} \left\{ \sigma_{x,x}(\theta) + \sigma_{\phi,x}(\theta) - \sqrt{(\sigma_{x,x}(\theta) - \sigma_{\phi,x}(\theta))^2 + 4\tau_x(\theta)^2} \right\}$$

$$\sigma_{3,x}(\theta) = 0$$

各主応力により、応力強さ $\sigma_x(\theta)$ は以下のとおりとなる。

$$\sigma_x(\theta) = \max(|\sigma_{1,x}(\theta) - \sigma_{2,x}(\theta)|, |\sigma_{2,x}(\theta) - \sigma_{3,x}(\theta)|, |\sigma_{3,x}(\theta) - \sigma_{1,x}(\theta)|)$$

なお、Y方向入力時の組合せ応力強さ $\sigma_y(\theta)$ は、上記の式におけるXをYに置き換えた式により算出する。

ここで、 $\theta = 0^\circ$ の場合、第3-1表より $\sigma_{x,x}(0^\circ) = 12.28$ 、第3-2表より $\sigma_{\phi,x}(0^\circ) = 3.54$ 、第3-3表より $\tau_x(0^\circ) = 0$ であるため、

$$\frac{1}{2}$$

$$\sigma_{1,x}(0^\circ) = \sqrt{12.28^2 + 3.54^2} = 12.28$$

$$\sigma_{2,x}(0^\circ) = \frac{1}{2} \sqrt{12.28^2 + 3.54^2 - 2 \cdot 12.28 \cdot 3.54} = 3.54$$

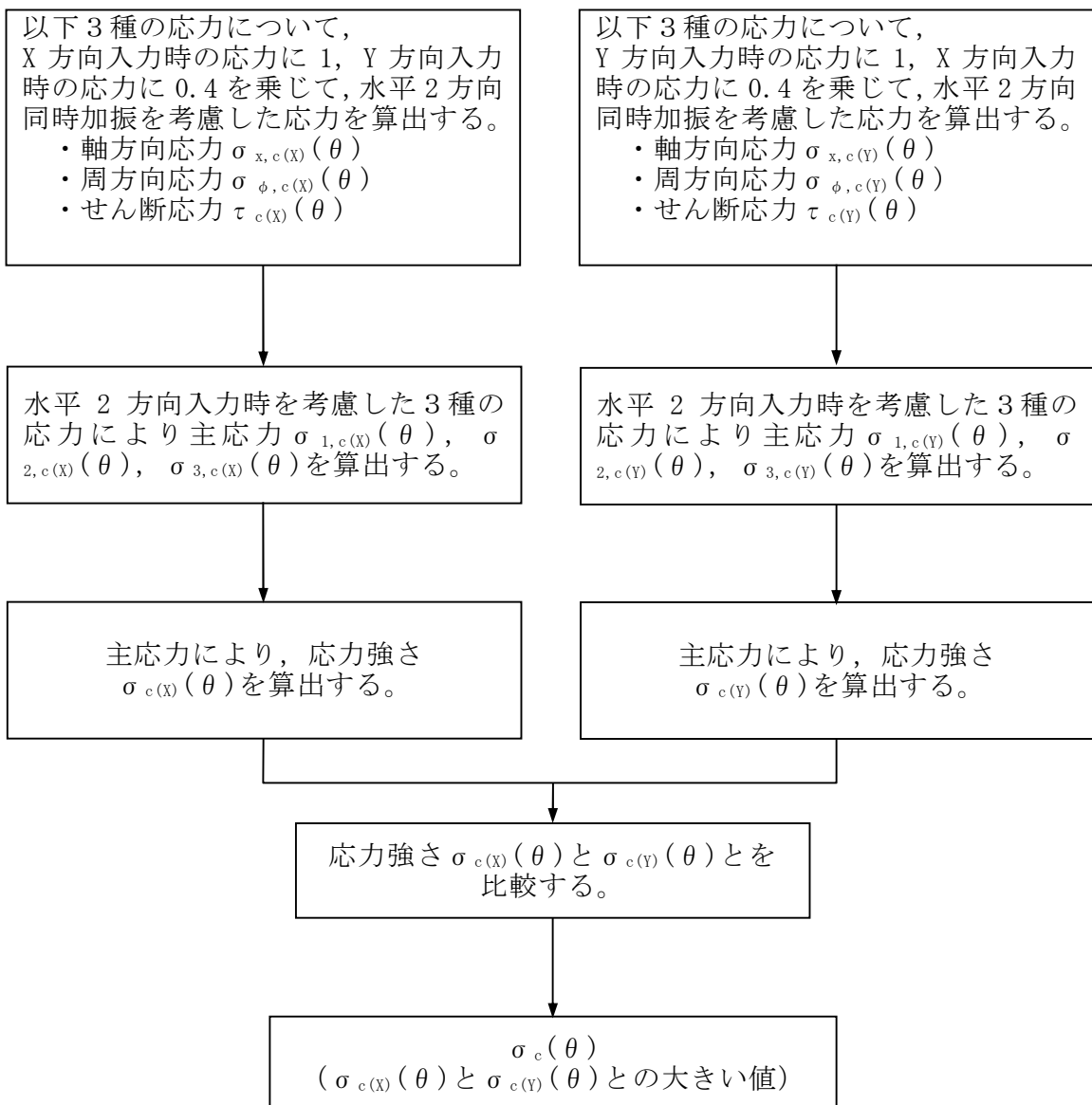
$$\sigma_{3,x}(0^\circ) = 0$$

となる。したがって、

$$\sigma_x(0^\circ) = \max(|12.28|, |3.54|, |0|) = 12.28$$

<組合せ係数法による水平2方向入力時の組合せ応力強さ $\sigma_c(\theta)$ >

$\sigma_c(\theta)$ の算出フローを第3-5図に示す。



第3-5図 組合せ係数法による組合せ応力算出フロー

X方向入力時の応力に1, X方向入力時の応力に0.4を乗じて組み合わせた水平2方向入力時を考慮した応力は以下の通りとする。

$$\sigma_{x,c(X)}(\theta) = \sigma_{x,X}(\theta) + 0.4 \times \sigma_{x,Y}(\theta)$$

$$\sigma_{\phi,c(X)}(\theta) = \sigma_{\phi,X}(\theta) + 0.4 \times \sigma_{\phi,Y}(\theta)$$

$$\tau_{c(X)}(\theta) = \tau_X(\theta) + 0.4 \times \tau_Y(\theta)$$

水平2方向入力時を考慮した各応力により主応力 $\sigma_{1,c(X)}(\theta)$, $\sigma_{2,c(X)}(\theta)$, $\sigma_{3,c(X)}(\theta)$ は以下のとおり表わされる。

$$\sigma_{1,c(X)}(\theta) = \frac{1}{2} \{ \sigma_{x,c(X)}(\theta) + \sigma_{\phi,c(X)}(\theta) + \sqrt{(\sigma_{x,c(X)}(\theta) - \sigma_{\phi,c(X)}(\theta))^2 + 4\tau_{c(X)}(\theta)^2} \}$$

$$\sigma_{2,c(X)}(\theta) = \frac{1}{2} \{ \sigma_{x,c(X)}(\theta) + \sigma_{\phi,c(X)}(\theta) - \sqrt{(\sigma_{x,c(X)}(\theta) - \sigma_{\phi,c(X)}(\theta))^2 + 4\tau_{c(X)}(\theta)^2} \}$$

$$\sigma_{3,c(X)}(\theta) = 0$$

各主応力により、応力強さ $\sigma_{c(X)}(\theta)$ は以下の通りとなる。

$$\sigma_{c(X)}(\theta) = \max(|\sigma_{1,c(X)}(\theta) - \sigma_{2,c(X)}(\theta)|, |\sigma_{2,c(X)}(\theta) - \sigma_{3,c(X)}(\theta)|, |\sigma_{3,c(X)}(\theta) - \sigma_{1,c(X)}(\theta)|)$$

同様に、Y方向入力時の応力に1、X方向入力時の応力に0.4を乗じて組み合わせた水平2方向入力時を考慮した応力により、応力強さ $\sigma_{c(Y)}(\theta)$ を算出する。

この応力強さ $\sigma_{c(X)}(\theta)$ と $\sigma_{c(Y)}(\theta)$ とを比較し、大きいほうの値を $\sigma_c(\theta)$ とする。

$$\sigma_c(\theta) = \max(\sigma_{c(X)}(\theta), \sigma_{c(Y)}(\theta))$$

ここで、 $\theta = 0^\circ$ の場合、第3-1表より $\sigma_{x,c(X)}(0^\circ) = 12.28$ 、第3-2表より

$$\sigma_{\phi,c(X)}(0^\circ) = 3.54$$

$$\sigma_{1,c(X)}(0^\circ) = \frac{1}{2} \{ 12.28 + 3.54 + \sqrt{(12.28 - 3.54)^2 + 4(1.08)^2} \} = 12.41$$

$$\sigma_{2,c(X)}(0^\circ) = \frac{1}{2} \{ 12.28 + 3.54 - \sqrt{(12.28 - 3.54)^2 + 4(1.08)^2} \} = 3.41$$

$$\sigma_{3,c(X)}(0^\circ) = 0$$

となる。したがって、応力強さ $\sigma_{c(X)}(0^\circ)$ は以下のとおり算出される。

$$\sigma_{c(X)}(0^\circ) = \max(|12.41 - 3.41|, |3.41 - 0|, |0 - 12.41|) = 12.41$$

同様に、第3-1表より $\sigma_{x,c(Y)}(0^\circ) = 4.91$ 、第3-2表より $\sigma_{\phi,c(Y)}(0^\circ) = 1.42$ 、第3-3

表より $\tau_{c(Y)}(0^\circ) = 2.70$ であるため、

$$\sigma_{1,c(Y)}(0^\circ) = \frac{1}{2} \{ 4.91 + 1.42 + \sqrt{(4.91 - 1.42)^2 + 4(2.70)^2} \} = 6.38$$

$$\sigma_{2,c(Y)}(0^\circ) = \frac{1}{2} \{ 4.91 + 1.42 - \sqrt{(4.91 - 1.42)^2 + 4(2.70)^2} \} = -0.05$$

$$\sigma_{3,c(Y)}(0^\circ) = 0$$

となる。したがって、応力強さ $\sigma_{c(Y)}(0^\circ)$ は以下のとおり算出される。

$$\sigma_{c(Y)}(0^\circ) = \max(|6.38 - (-0.05)|, |-0.05 - 0|, |0 - 6.38|) = 6.43$$

応力強さ $\sigma_{c(X)}(0^\circ)$ と $\sigma_{c(Y)}(0^\circ)$ により、組合せ係数法による水平2方向入力時を考慮した応力強さ $\sigma_c(0^\circ)$ は、

$$\sigma_c(\theta) = \max(12.41, 6.43) = 12.41$$

となる。

< S R S S 法による水平2方向入力時を考慮した組合せ応力強さ $\sigma_s(\theta)$ >

主応力 $\sigma_{1,s}(\theta)$, $\sigma_{2,s}(\theta)$, $\sigma_{3,s}(\theta)$ は以下のとおり表わされる。

$$\sigma_{1,s}(\theta) = \frac{1}{2} \{ \sigma_{x,s}(\theta) + \sigma_{\phi,s}(\theta) + \sqrt{(\sigma_{x,s}(\theta) - \sigma_{\phi,s}(\theta))^2 + 4\tau_s(\theta)^2} \}$$

$$\sigma_{2,s}(\theta) = \frac{1}{2} \{ \sigma_{x,s}(\theta) + \sigma_{\phi,s}(\theta) - \sqrt{(\sigma_{x,s}(\theta) - \sigma_{\phi,s}(\theta))^2 + 4\tau_s(\theta)^2} \}$$

$$\sigma_{3,s}(\theta) = 0$$

各主応力により、応力強さ $\sigma_s(\theta)$ は以下の通りとなる。

$$\sigma_s(\theta) = \max(|\sigma_{1,s}(\theta) - \sigma_{2,s}(\theta)|, |\sigma_{2,s}(\theta) - \sigma_{3,s}(\theta)|, |\sigma_{3,s}(\theta) - \sigma_{1,s}(\theta)|)$$

ここで、 $\theta = 0^\circ$ の場合、第3-1表より $\sigma_{x,s}(0^\circ) = 12.28$ 、第3-2表より

$$\sigma_{\phi,s}(0^\circ) = 3.54$$

$$\text{第3-3表より } \tau_s(0^\circ) = 2.70 \text{ であるため,}$$

$$\sigma_{1,s}(0^\circ) = \frac{1}{2} \{ 12.28 + 3.54 + \sqrt{(12.28 - 3.54)^2 + 4(2.70)^2} \} = 13.05$$

$$\sigma_{2,s}(0^\circ) = \frac{1}{2} \{ 12.28 + 3.54 - \sqrt{(12.28 - 3.54)^2 + 4(2.70)^2} \} = 2.77$$

$$\sigma_{3,s}(0^\circ) = 0$$

となる。したがって、

$$\sigma_s(0^\circ) = \max(|13.05 - 2.77|, |2.77 - 0|, |0 - 13.05|) = 13.05$$

$\theta = 0^\circ$ の場合に、S R S S 法、組合せ係数法を用いて算出した応力強さを第3-4 表に示す。

第3-4表 S R S S 法, 組合せ係数法を用いて算出した応力強さ ($\theta = 0^\circ$)

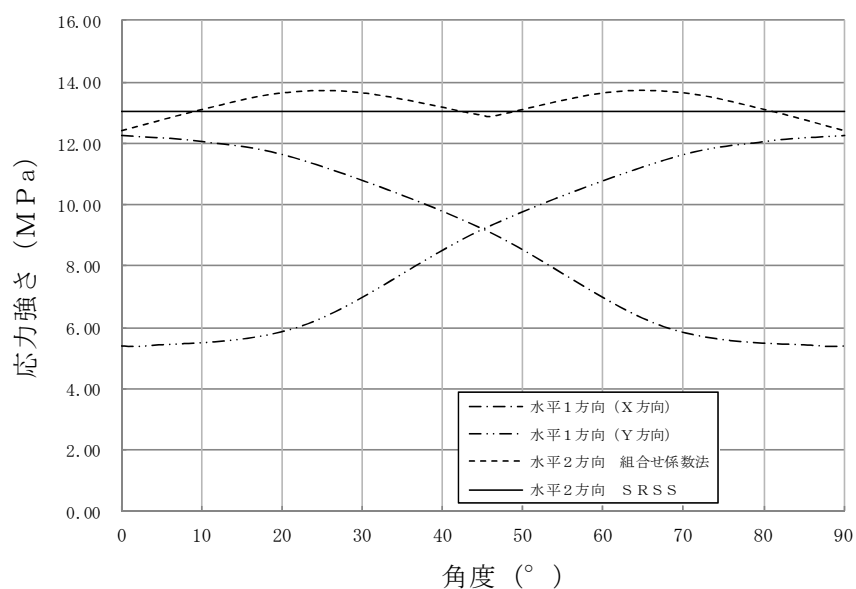
	X	Y	S R S S 法	組合せ係数法	
				$1.0 \times X + 0.4 \times Y$	$0.4 \times X + 1.0 \times Y$
$\sigma_x(\theta)$	12.28	0.00	$\sqrt{(12.28^2 + 0.00^2)} =$ 12.28	$12.28 \times 1.0 + 0.00 \times 0.4 =$ 12.28	$12.28 \times 0.4 + 0.00 \times 1.0 =$ 4.91
$\sigma_\phi(\theta)$	3.54	0.00	$\sqrt{(3.54^2 + 0.00^2)} =$ 3.54	$3.54 \times 1.0 + 0.00 \times 0.4 =$ 3.54	$3.54 \times 0.4 + 0.00 \times 1.0 =$ 1.42
$\sigma_z(\theta)$	0.00	2.70	$\sqrt{(0.00^2 + 2.70^2)} =$ 2.70	$0.00 \times 1.0 + 2.70 \times 0.4 =$ 1.08	$0.00 \times 0.4 + 2.70 \times 1.0 =$ 2.70
$\sigma_1(\theta)$	—	—	$1/2 \times [12.28 + 3.54 +$ $\sqrt{((12.28 - 3.54)^2 + 4 \times 2.70^2)}] =$ 13.05	$1/2 \times [12.28 + 3.54 +$ $\sqrt{((12.28 - 3.54)^2 + 4 \times 1.08^2)}] =$ 3.41	$1/2 \times [4.91 + 1.42 +$ $\sqrt{((4.91 - 1.42)^2 + 4 \times 2.70^2)}] =$ 6.38
$\sigma_2(\theta)$	—	—	$1/2 \times [12.28 + 3.54 -$ $\sqrt{((12.28 - 3.54)^2 + 4 \times 2.70^2)}] =$ 2.77	$1/2 \times [12.28 + 3.54 -$ $\sqrt{((12.28 - 3.54)^2 + 4 \times 1.08^2)}] =$ 12.41	$1/2 \times [4.91 + 1.42 -$ $\sqrt{((4.91 - 1.42)^2 + 4 \times 2.70^2)}] =$ -0.05
$\sigma_3(\theta)$	—	—	0	0	0
$\sigma(\theta)$	—	—	MAX $(13.05 - 2.77 , 2.77 - 0 , 0 - 13.05 =$ 13.05	MAX $(3.41 - 12.41 , 12.41 - 0 , 0 - 3.41 =$ 12.41	MAX $(6.38 - (-0.05) , -0.05 - 0 , 0 - 6.38) =$ 6.43
MAX (12.41, 6.43) = 12.41					

(注) 本表記載の数値は計算例を示すものであり、桁処理の関係上、他表の数値と一致しないことがある。

算出した応力強さの分布及び分布図を第3-5表及び第3-6図に示す。

第3-5表 水平地震時の組合せ応力強さ

角度	X方向入力時 応力強さ(MPa) $\sigma_x(\theta)$	Y方向入力時 応力強さ(MPa) $\sigma_y(\theta)$	2方向入力時応力強さ(MPa)	
			組合せ係数法 $\sigma_c(\theta)$	S R S S 法 $\sigma_s(\theta)$
0° 方向	12.28	5.40	12.41	13.04
22.5° 方向	11.47	6.03	13.64	13.04
45° 方向	9.22	9.22	12.91	13.04
67.5° 方向	6.03	11.47	13.64	13.04
90° 方向	5.40	12.28	12.41	13.04



第3-6図 水平地震時組合せ応力強さ分布図

組合せ応力強さは、S R S S 法では全方向において一定であるのに対して、組合せ係数法では 24.75° 及び 65.25° にピークを持つ分布となった。組合せ応力強さは 0° ， 45° 及び 90° 付近では S R S S 法のほうが組合せ係数法に比べ大きな値となるのに対して、組合せ係数法がピークを持つ 24.75° 及び 65.25° 付近では S R S S 法を約5%上回る結果となった。

水平2方向入力時の S R S S 法による組合せ最大応力強さは、第3-6表に示すとおり水平1方向入力時の最大応力強さに対して 6 %上回る程度であり、水平2方向による影響は軽微といえる。

一方、水平2方向入力時の組合せ係数法による組合せ最大応力強さについては、水平1方向入力時の最大応力強さに対して11%上回る結果となった。これは水平2方向入力時の影響軽微と判断する基準（応力の増分が 1 割）を超えており、本検討においては水平地震力のみを考慮しており、実際の耐震評価においては水平地震力以外に自重、内圧及び鉛直地震力等を考慮して評価を実施することから、水平2方向を考慮した際の応力強さの増分は小さくなる。

このため、水平2方向による影響は軽微であると考えられるが、組合せ係数法による最大応力強さが11%を上回っているため、水平2方向入力時の影響を軽微と判断する場合は、個別検討を行ったうえで、影響が軽微と判断する。

第3-6表 水平地震時の最大組合せ応力強さ及び水平2方向による影響

		最大組合せ応力強さ (MPa)	水平2方向／水平1方向 最大応力強さ比
水平1方向入力		12.28	1.00
水平2方向 入力	S R S S 法	13.05	1.06
	組合せ係数法	13.67	1.11

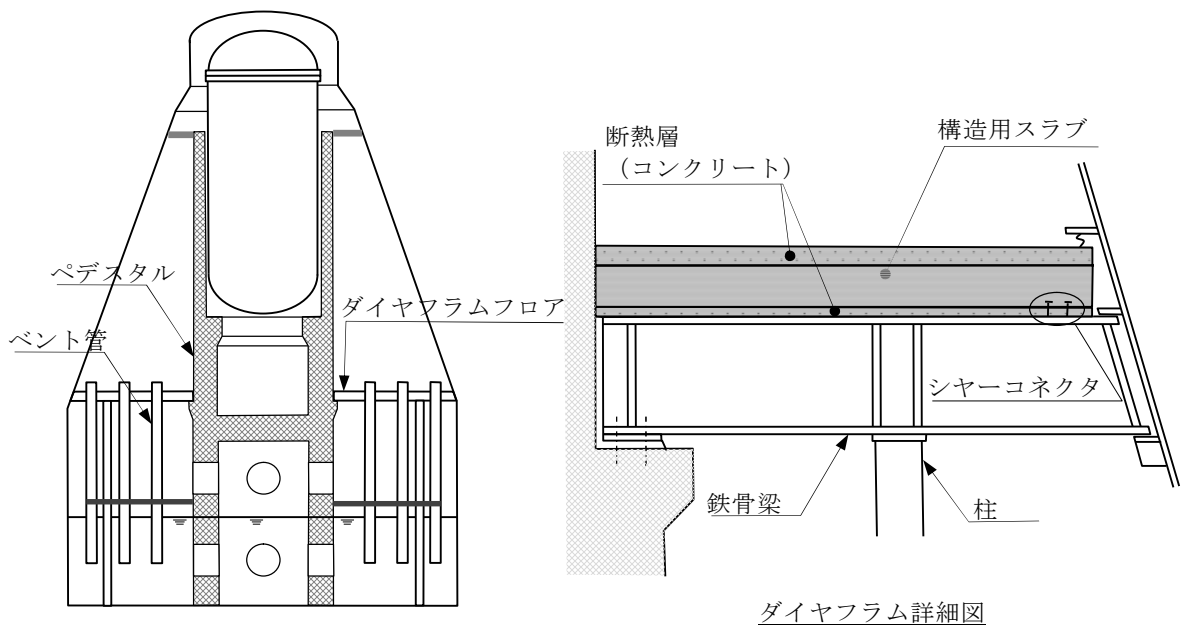
4. 水平 2 方向同時加振の影響評価について（ダイヤフラムフロア）

4.1 はじめに

本項は、ダイヤフラムフロアに対する水平 2 方向同時加振の影響についてまとめたものである。

4.2 ダイヤフラムフロアの構造

ダイヤフラムフロアは、格納容器をドライウェルとサプレッションチャンバーとを隔離する構造物であり、上部及び下部に断熱層を持った鉄筋コンクリート製の構造用スラブで構成されている。垂直方向の荷重は、鉄筋コンクリート製スラブから鉄骨梁に伝えられ、その下部にあるペデスタル及び鉄骨の柱で支持されている。水平方向の荷重も同様に鉄骨梁から原子炉本体基礎及び格納容器周囲に設置されたシアラグを介して原子炉建屋に伝達される（第 4-1 図）。



第 4-1 図 ダイヤフラムフロアの構造

4.3 水平 2 方向同時加振の影響

構造用スラブ及び鉄骨梁は、水平方向に広がりを有することから、作用する荷重は鉛直方向の荷重が支配的であり、水平 2 方向の地震に対して影響は軽微である。また、同

様に構造用スラブ及び鉄骨梁を支持する柱についても、各構造物からの鉛直方向の荷重を受ける構造であるため、水平 2 方向の地震に対する影響はない。

水平地震力を構造用スラブから鉄骨梁に伝達するシャーベコネクタに対する水平 2 方向の地震の影響について整理する。地震時にダイヤフラムフロア全体に加わる水平力 Q とした場合、シャーベコネクタが設置されているダイヤフラムフロア端部に加わる水平力 q は、第 4-2 図に示すとおり \sin 分布として与えられるため、地震方向との角度 θ が 90° の位置で最大となることから、NS、EW 方向で最大となる地震力の位置は異なる（第 4-3 図）。

さらに、水平 2 方向同時加振時の水平力は、第 4-4 図に示すとおり水平 1 方向加振時の最大の水平力と比較し S R S S 法を用いた場合は同値、組合せ係数法を用いた場合は最大で約 1.08 倍の値となるため、水平 2 方向同時加振の影響は軽微である。

また、ダイヤフラムフロアは、水平方向に広がりを持った構造物であることから、鉛直方向の地震力に対する影響を無視できないため、水平 2 方向に鉛直方向を加えた影響の確認を行う。

なお、地震応答解析結果から得られたダイヤフラムフロアの評価に用いる既工認時の荷重及び今回工認の荷重の比較を第 4-1 表に、既工認におけるダイヤフラムフロア主要部材における地震荷重の割合を第 4-2 表及び第 4-3 表に示す。今回工認の評価用荷重に比べ既工認の評価用荷重が大きいこと、また既工認の評価結果から事故時の温度、圧力等による荷重は評価に一定の影響を与えることが分かる。以上より、水平 2 方向同時加振による影響は、ダイヤフラムフロアにおける実際の評価では、事故時荷重として圧力、熱荷重等を考慮して評価するため、水平方向地震力の寄与度を踏まえると水平 2 方向同時加振における影響は軽微であるものと考えられるが、詳細設計段階で具体的な評価結果を用いた確認を行う。

第 4-1 表 ダイヤフラムフロア評価用荷重の比較

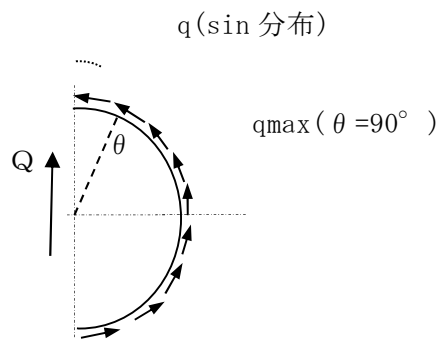
	既工認 (評価用地震 × 1.5)	今回工認 (S_s 応答包絡値)
評価用荷重	9,530 kN	7,570 kN

第4-2表 ダイヤフラムフロア（構造用スラブ）の既工認の応力度割合

	自重及び 鉛直地震	水平地震	事故時等
コンクリートの 圧縮応力度	0.4 %	11.9 %	87.7 %
鉄筋の 圧縮応力度	0.7 %	31.1 %	68.2 %
鉄筋の 引張応力度	0.6 %	68.2 %	31.2 %
面外せん断	1.8 %	—	98.2 %
面内せん断	—	100 %	—

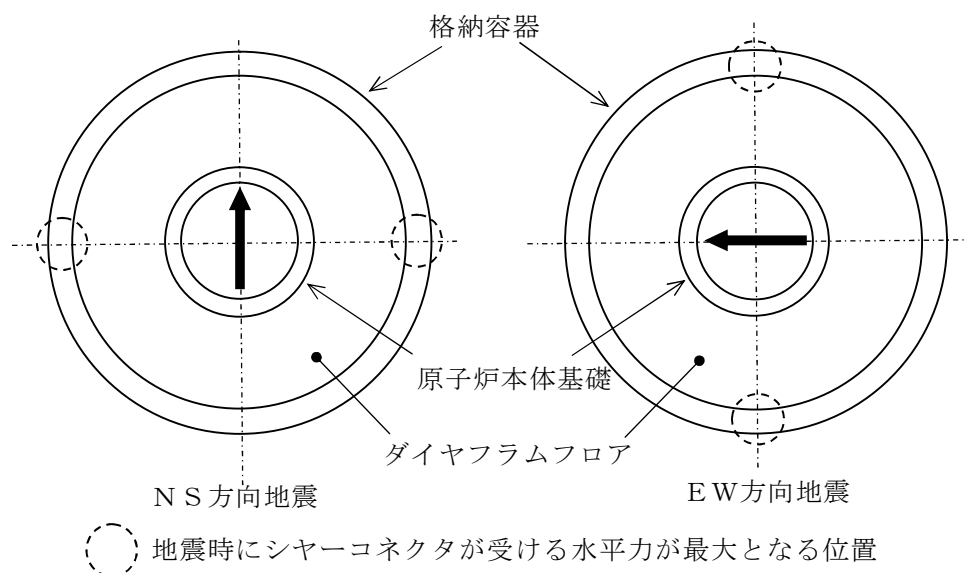
第4-3表 ダイヤフラムフロア（柱）の既工認の荷重割合

	自重	鉛直地震	事故時差圧
圧縮荷重	10.8 %	2.6 %	86.6 %

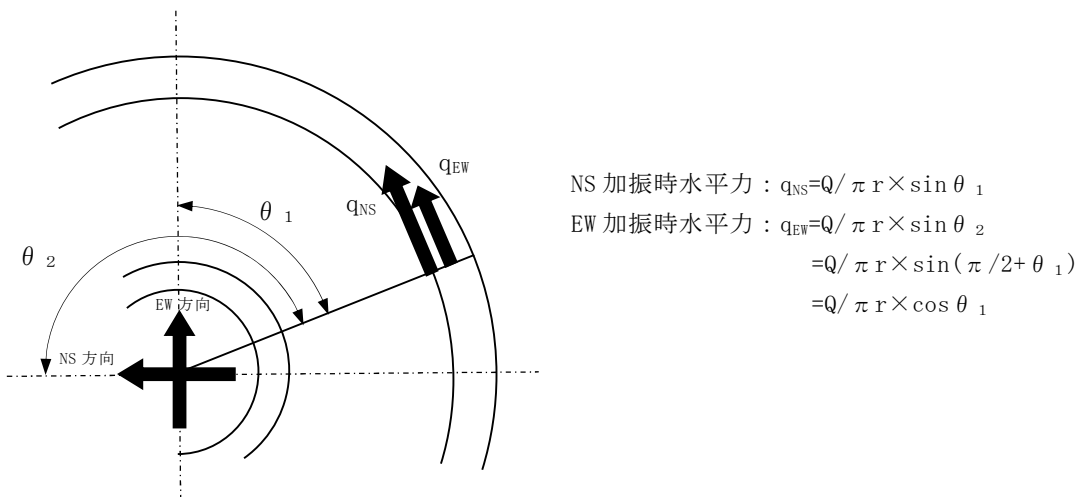


Q : 地震時にダイヤフラムフロア全体が受ける水平力
q : ダイヤフラム端部に作用する水平力

第4-2図 ダイヤフラムフロア端部における水平力の分布



第4-3図 シヤーコネクタに与える水平2方向地震組合せの影響

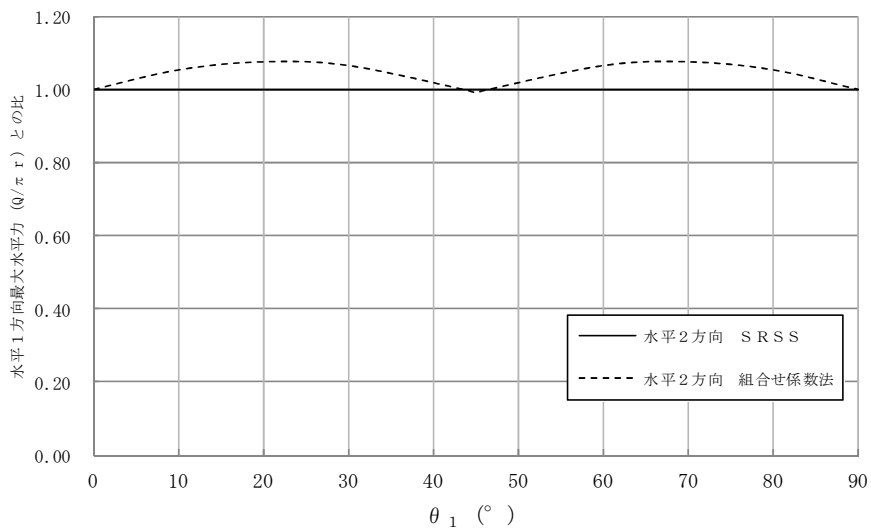


<組合せ係数法を用いた2方向入力時水平力>

$$\begin{aligned}
 q &= \max(q_{NS} + 0.4 \times q_{EW}, 0.4 \times q_{NS} + q_{EW}) \\
 &= Q / \pi r \times \max(\sin \theta_1 + 0.4 \times \cos \theta_1, 0.4 \times \sin \theta_1 + \cos \theta_1)
 \end{aligned}$$

< S R S S 法を用いた2方向入力時水平力>

$$\begin{aligned}
 q &= \sqrt{(q_{NS})^2 + (q_{EW})^2} \\
 &= \sqrt{((Q / \pi r) \times \sin \theta_1)^2 + ((Q / \pi r) \times \cos \theta_1)^2} \\
 &= Q / \pi r
 \end{aligned}$$



第4-4図 水平2方向同時加振時の水平力分布について

5 水平2方向同時加振の影響評価について（燃料取替機）

5.1 はじめに

本項は、燃料取替機（以下「F HM」という。）に対する水平2方向同時加振の影響についてまとめたものである。

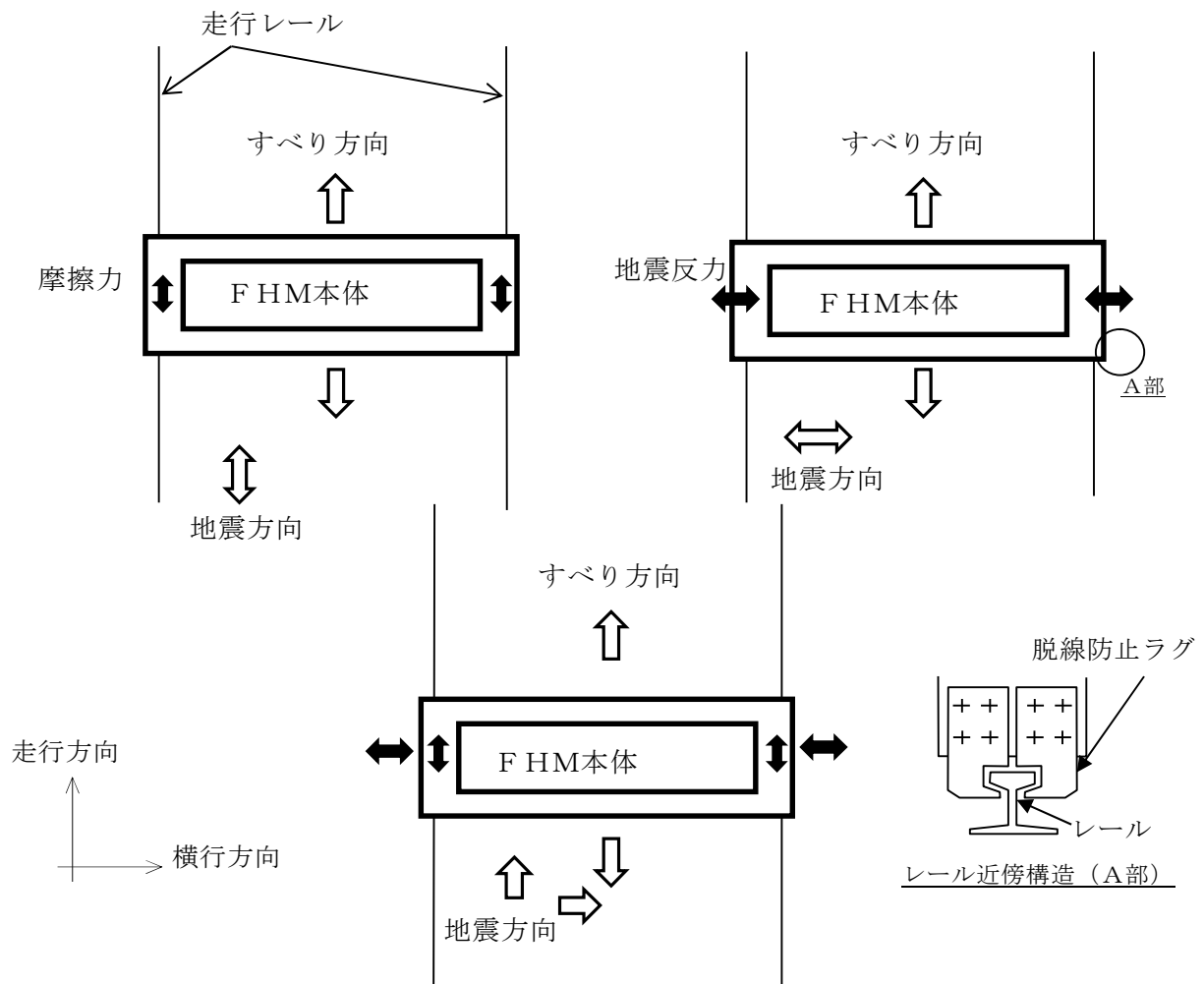
5.2 現行評価の手法

燃料取替機の負担する水平地震荷重の概念図を第5-1図に示す。

F HMはレール上を車輪で移動する構造であるため、基本的には建屋との固定はないが、地震時に横行方向（走行レールに対し直角方向）にすべりが生じた場合は、レールに沿って取り付けられている脱線防止ラグがレールの側面と接触し、F HMのすべりを制限する構造となっている。つまり、ラグとレールが接触し、F HMが横行方向に建屋と固定された体系では、地震入力がF HM本体へそのまま伝達されることが想定される。

一方、走行方向（走行レールの長手方向）については、F HMの車輪とレールの接触面（踏面）を介してF HM本体へと荷重が伝達される構造であり、その荷重は摩擦力により制限されるため、地震入力により生じる荷重は軽微（F HM本体への影響は軽微）と考えられる。

上記により、F HM本体の耐震評価では横行方向に対する地震応答が支配的であり、走行方向に対しては比較的軽微であると考えられるため、水平2方向同時加振の考慮として、耐震性評価で走行方向の地震応答を追加で組み合わせたとしても、従来評価の応答結果への影響は小さいと考えられる。



第 5-1 図 燃料取替機の負担する水平地震荷重

6. 水平 2 方向入力時の影響評価について（矩形配置されたボルト）

6.1 はじめに

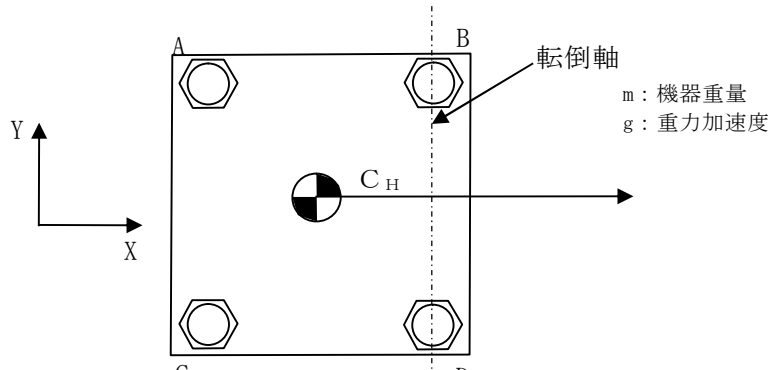
本項は、水平 2 方向に地震力が作用した場合の矩形配置されたボルトに対する影響検討結果をまとめたものである。強軸・弱軸が明確なものについては、弱軸方向に応答し水平 2 方向地震力による影響が軽微であるため、機器の形状を正方形として検討を行った。

6.2 引張応力への影響

水平 1 方向に地震力が作用する場合と水平 2 方向に地震力が作用する場合のボルトへの引張力の違いを考察する。なお、簡単のため機器の振動による影響は考えないことにする。

(1) 水平 1 方向に地震力が作用する場合

第 6-1 図のように X 方向に震度 C_H が与えられる場合を考慮する。



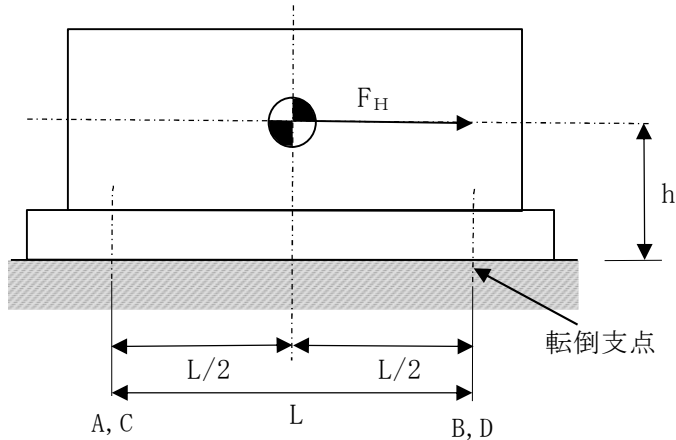
第 6-1 図 水平 1 方向の地震力による応答（概要）

この場合、対象としている系の重心に作用する水平方向の力 F_H は、

$$F_H = mgC_H$$

と表せ、 F_H によるボルト B とボルト D の中心を結んだ軸を中心とした回転モーメントを生じる。この回転モーメントはボルト A, C により負担される。

このとき、系の重心に生じる力は、第 6-2 図に示すとおりである。



第 6-2 図 水平 1 方向の地震力による力

第 6-2 図より、水平方向地震動による引張力は

$$F_b = \frac{1}{L} (mgC_H h)$$

である。

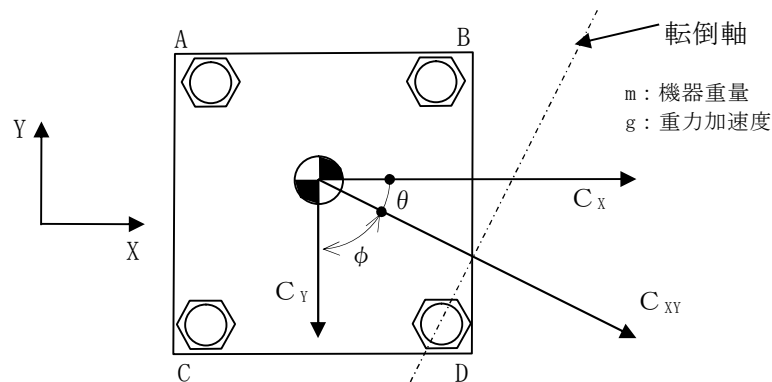
ボルトに発生する引張応力 σ_b は全引張力を断面積 A_b のボルト n_f 本で受けると考え、

$$\sigma_b = \frac{F_b}{n_f A_b}$$

となる。

(2) 水平 2 方向に地震力が作用する場合

第 6-3 図のように X 方向と Y 方向にそれぞれ震度 C_x , C_y が作用する場合を考慮する。なお、本検討においては、X 方向と Y 方向に同時に最大震度が発生する可能性は低いと考え、X 方向の震度と Y 方向の震度を 1 : 0.4 ($0.4C_x = C_y$) と仮定する。



第 6-3 図 水平 2 方向の地震力による応答（概要）

この時 $\theta = \tan^{-1}\left(\frac{4}{10}\right)$ であることから、水平方向の震度 C_{xy} は

$$\begin{aligned} C_{xy} &= C_x \cos \theta + C_y \cos \phi \\ &= \frac{5}{\sqrt{29}} C_x + 0.4 \times \frac{2}{\sqrt{29}} C_y \\ &= \frac{5.8}{\sqrt{29}} C_x \end{aligned}$$

と表される。この時、対象としている系の重心に作用する水平方向の力 F_H は、

$$F_H = mg C_{xy} = mg \frac{5.8}{\sqrt{29}} C_x$$

となる。この F_H により、転倒軸を中心に転倒モーメントが生じ、ボルト A, B, C により負担される。

水平 2 方向の地震力を受け対角方向に応答する場合、各ボルトにかかる引張力を F_A , F_B , F_C とし、第 6-4 図に示すようにボルト D の中心を通る直線を転倒軸とすると、転倒軸からの距離により、

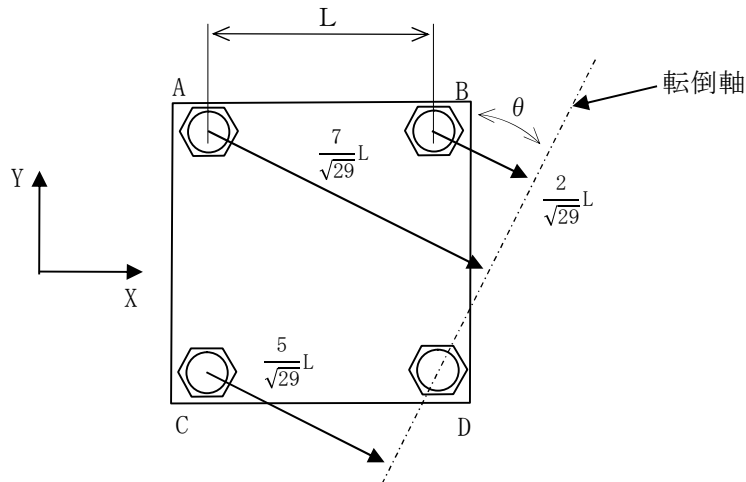
$$F_A : F_B : F_C = 7 : 2 : 5$$

であり、転倒軸周りのボルトの軸力により発生するモーメント M は、

$$\begin{aligned} M &= \frac{7}{\sqrt{29}} L F_A + \frac{2}{\sqrt{29}} L F_B + \frac{5}{\sqrt{29}} L F_C \\ &= \frac{7}{\sqrt{29}} L \times F_A + \frac{2}{\sqrt{29}} L \times \frac{2}{7} F_A + \frac{5}{\sqrt{29}} L \times \frac{5}{7} F_A \end{aligned}$$

$$= \frac{78}{7\sqrt{29}} LF_A$$

である。



第 6-4 図 対角方向に応答する場合の転倒軸から距離

転倒しない場合、転倒軸周りのボルトの軸力により発生するモーメントMと水平方向地震力モーメントが釣り合っているので、

$$mg C_{XY} h = \frac{78}{7\sqrt{29}} LF_A$$

であり、引張力 F_A は以下のとおりとなる。

$$F_A = \frac{7\sqrt{29}}{78L} (mg C_{XY} h)$$

以上より、最も発生応力の大きいボルト A に発生する応力 σ_b^- は

$$\sigma_b^- = \frac{F_A}{A_b} = \frac{7\sqrt{29}}{78A_b L} (mg C_{XY} h)$$

であり、水平 1 方向地震動を考慮した場合のボルトにかかる応力 σ_b^+

$$\sigma_b^+ = \frac{F_b}{2A_b} = \frac{1}{2A_b L} (mg C_H L)$$

に対して、震度 $C_{XY} = \frac{5.8}{\sqrt{29}} C_H$ であることから

$$\begin{aligned}
\sigma_b' &= \frac{7\sqrt{29}}{39 \times 2A_b L} (mg C_{xy} h) \\
&= \frac{7\sqrt{29}}{39 \times 2A_b L} \times \frac{5.8}{\sqrt{29}} (mg C_H h) \\
&= \frac{40.6}{39} \sigma_b \\
&= 1.04 \sigma_b
\end{aligned}$$

となる。したがって、水平2方向入力時を考慮した場合、ボルトに発生する引張応力は増加するが、その影響は軽微と考えられる。

6.3 せん断応力への影響

せん断力は全基礎ボルト断面で負担するため、全ボルトに対するせん断力 T_b は、

$$T_b = F_H$$

であり、せん断応力 τ_b は断面積 A_b のボルト本数 n でせん断力 T_b を受けるため、

$$\tau_b = \frac{T_b}{nA_b}$$

となる。

水平1方向の地震力を考慮した場合のせん断力 T_b 及び水平2方向の地震力を考慮した場合のせん断力 T_b' はそれぞれ、

$$\begin{aligned}
T_b &= mg C_X \\
T_b' &= mg \frac{5.8}{\sqrt{29}} C_X = 1.08 mg C_X \\
&= 1.08 T_b
\end{aligned}$$

となる。水平1方向及び水平2方向地震時に断面積 A_b 及びボルト全本数 n は変わらないため、水平2方向地震を考慮した場合、ボルトに発生するせん断応力は増加するが、その影響は軽微と考えられる。

水平2方向の震度比として 1:0.4 を用いて水平2方向入力時の影響を軽微と判断する場合は、本手法を適用することの妥当性を確認した上で適用する。

7. 水平 2 方向同時加振の影響について（電気盤）

7.1 はじめに

本資料は、電気盤に取り付けられている器具に対する水平 2 方向入力の影響をまとめたものである。

7.2 水平 2 方向加振の影響について

電気盤に取り付けられている器具については、1 次元的な接点の ON-OFF に関する比較的単純な構造をしている。加えて、基本的にはすべて梁、扉等の強度部材に強固に固定されているため、器具の非線形応答もなく、水平 2 方向の加振に対しては独立に扱うことで問題ないものと考える。さらに器具の誤動作モードは、水平 1 方向を起因としたモードであるため、水平 2 方向加振による影響は軽微であると考える。

なお、念のために既往研究等において、電気盤の器具取付位置の応答加速度に対し、器具の確認済加速度が十分に高いことも確認している。

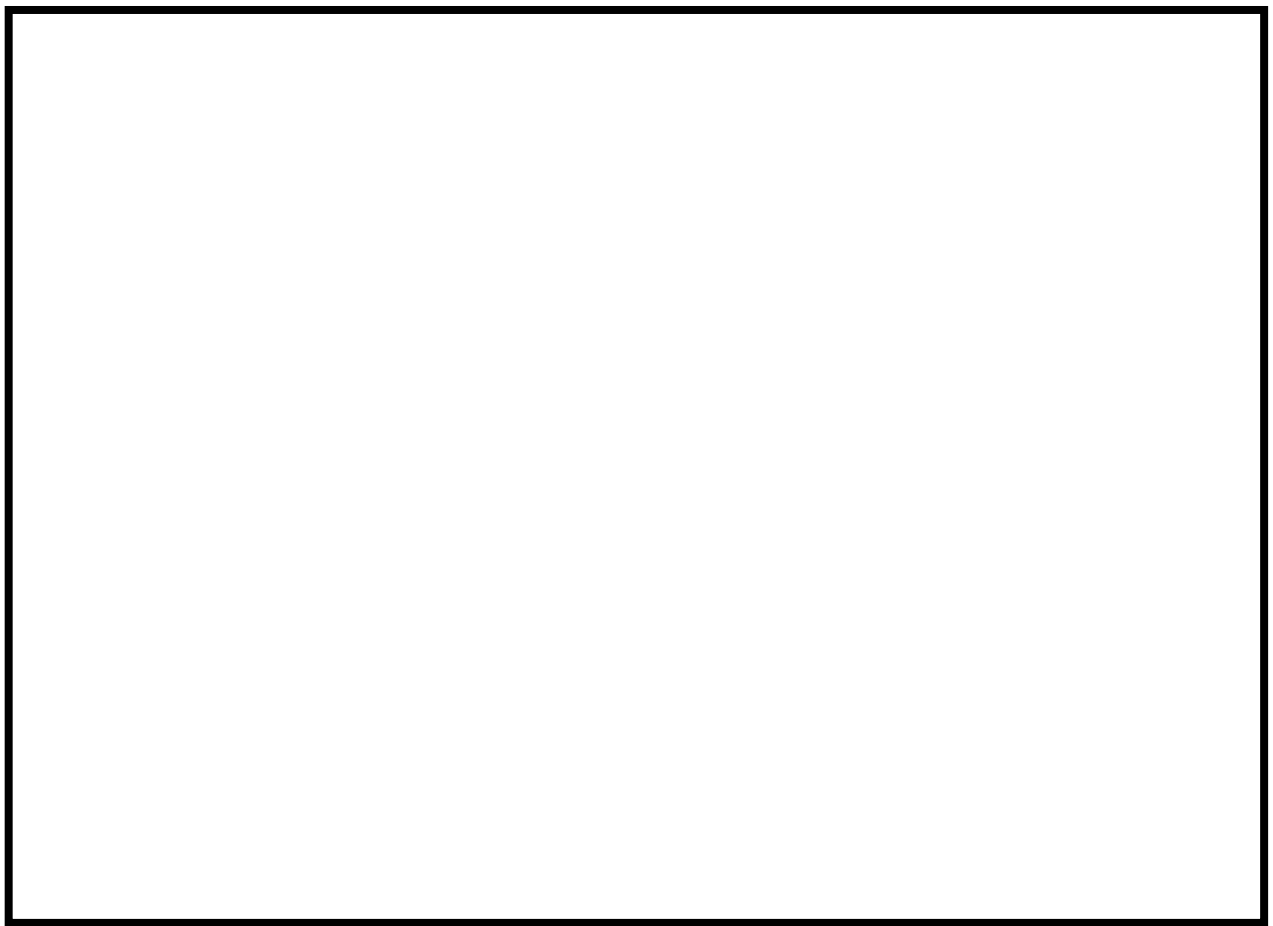
次頁より、メタクラ取付器具を代表とし、器具の構造から検討した結果をまとめる。

7.2.1 補助リレー

(1) 構造、作動機構の概要

第 7-1 図に補助リレーの構造及び作動機構を示す。補助リレーはコイルに通電されることにより生じる電磁力でアマチュア部を動作させ、接点の開閉を行うものである。

補助リレーのうち、固定鉄心、固定接点（A, B 接点）はいずれも強固に固定されており、可動鉄心は左右方向にのみ動くことのできる構造となっている。



第 7-1 図 補助リレー構造図

(2) 水平 2 方向地震力に対する影響検討

補助リレーの誤動作モードとして以下が考えられる。

- ・ 地震力で可動鉄心が振動することにより、接点が誤接触、又は誤開放（左右方向）
ただし、補助リレーは取付部をボルト固定していること、また、器具の可動部は左右方向にのみ振動することから、誤動作にいたる事象に多次元的な影響はないと考えられる。

(3) 機能確認済加速度

参考として、発生加速度と補助リレーの既往試験における確認済加速度及び試験結果を第 7-1 表に示す。

第7-1表 補助リレーの発生加速度及び機能確認済加速度

方 向	前 後	左 右	上 下
発生加速度(G)	0.97	0.97	0.84
確認済加速度(G)			

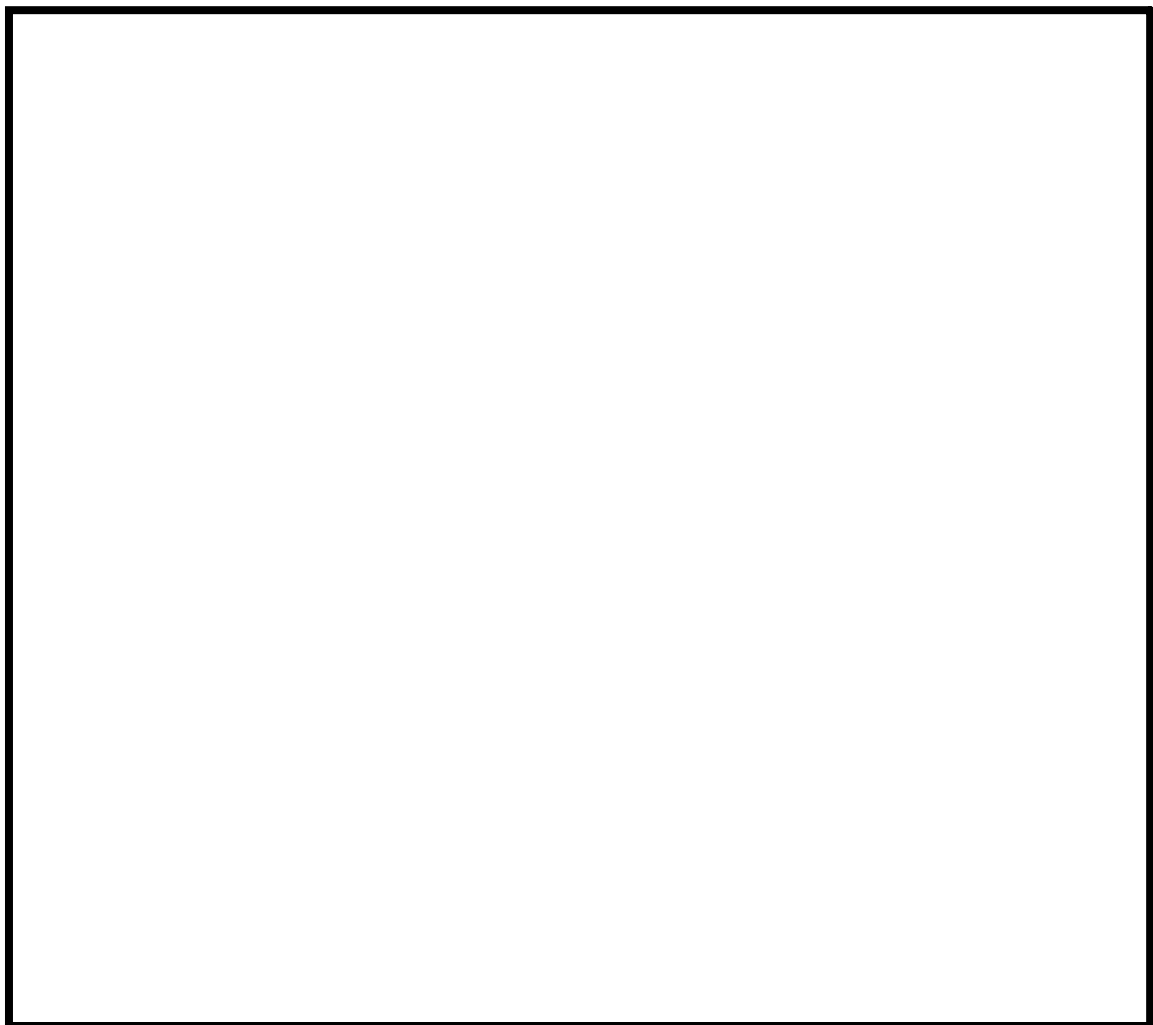
7.2.2 ノーヒューズブレーカ (MCCB)

(1) 構造、作動機構

第7-2図にMCCBの構造及び作動機構を示す。配線用遮断器には熱動電磁式と完全電磁式がある。下記に代表して熱動電磁式の動作原理と内部構造を示す。

熱動電磁式は、過電流が流れるとバイメタルが湾曲し、トリップ桿によりラッチの掛け合いが外れ、キャッチがバネにより回転し、リンクに連結された可動接点が作動し回路を遮断する。

また、短絡電流等の大電流が流れた場合は、固定鉄心の電磁力で可動鉄心が吸引されトリップ桿が作動し、以降は上述と同じ動作により回路を遮断する。



第7-2図 MCCB構造図

(2) 水平2方向地震力に対する影響検討

MCCBの誤動作モードとして以下が考えられる。

- ・ハンドルが逆方向へ動作する（上下方向）
- ・接点が乖離する（前後方向、左右方向）
- ・ラッチが外れてトリップする（前後方向、上下方向）

上記より、MCCBの誤動作として2方向の振動の影響が考えられる。ただし、ハンドルは1方向にしか振動できないこと、前後-左右の接点乖離は各々独立であること（前後方向は接触-非接触、左右方向はいずれによる）から、これらについては誤動作に至る事象に多次元的な影響はないものと考えられる。

ラッチ外れについては2軸の影響は無視できないと考えられるが、左右方向はラッチ外れに影響を与える誤動作モードではないため、水平2方向の影響はないものと考えられる。

えられる。

(3) 機能確認済加速度

参考として、発生加速度とMCCBの既往試験における確認済加速度及び試験結果を第7-2表に示す。

第7-2表 MCCBの発生加速度及び機能確認済加速度

方 向	前 後	左 右	上 下
発生加速度(G)	0.97	0.97	0.84
確認済加速度(G)			

7.2.3 過電流リレー（保護リレー）

(1) 構造、作動機構の概要

第7-3図に過電流リレー（保護リレー）の構造を示す。過電流リレーは、電流コイル1個を持つ電磁石が動作トルクを発生し、永久磁石の制動により限時特性を得る円板形リレーであり、タップ値以上の過電流が流れると接点が動作し、警報や遮断器引き外しを行う。なお、過電流リレーはボルトにて盤の扉面に強固に取り付けられている。



第 7-3 図 過電流リレー

(2) 水平 2 方向地震力に対する影響検討

過電流リレーの誤動作モードとして以下が考えられる。

- ・誘導円板が接触し、固渋する（上下方向）
- ・可動接点が振動し、接点の誤接触が生じる（前後、左右方向）

誘導円板の固渋については、昭和 56 年の日本機械学会講演論文集「誘導円板型リレーの地震時誤動作に関する研究」において、誘導円板が水平 2 方向入力により、回転し接点接触により、誤動作が生じることが報告されている。しかし、平成 13 年度に行われた電力共通研究「鉛直地震動を受ける設備の耐震評価手法に関する研究」において、水平 2 方向加振時に鉛直方向加振を加えた試験を実施しており、正弦波加振試験では誘導円板の回転挙動が発生したが、地震波加振試験では誘導円板の回転挙動が発生しないことを確認している。したがって、地震波による水平 2 方向の影響はないものと考えられる。

(3) 機能確認済加速度

参考として、発生加速度と過電流リレーの既往試験における確認済加速度及び試験

結果を第7-3表に示す。

第7-3表 過電流リレーの発生加速度及び機能確認済加速度

方 向	前 後	左 右	上 下
発生加速度(G)	0.97	0.97	0.84
確認済加速度(G)			

9. 水平 2 方向同時加振の影響について（応答軸が明確である設備）

9.1 はじめに

本資料は、応答軸が明確である設備について、水平 2 方向の地震力を考慮した場合においても設備の有する耐震性に対して影響がないことを説明するものである。

9.2 設備の有する耐震性に対して影響がないことの説明

従来設計手法として、設備の応答軸の方向、あるいは厳しい応力が発生する向きを有した設備があり、このような設備については解析上の地震力の入力を NS 方向・EW 方向を包絡した地震力（床応答曲線など）を用いて X 方向及び Y 方向から入力し、最も大きな評価結果を用いる等、保守的な評価を実施している場合がある。このような応答軸が明確な設備については、水平 2 方向の地震力による従来設計手法への影響が懸念されるようなことはないと考える。その理由を以下に示す。

● 設備の有する耐震性に対して影響がないことの理由

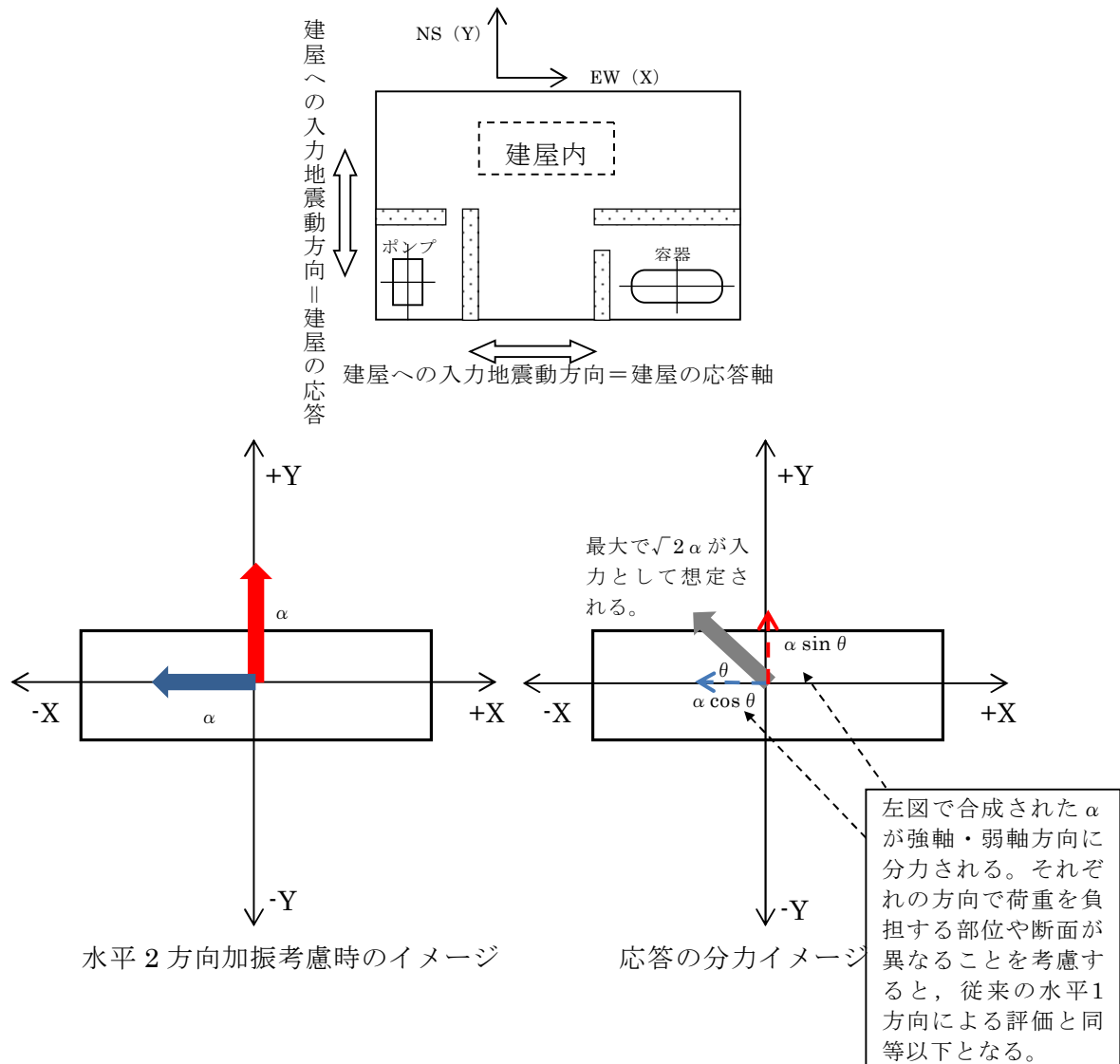
応答軸（設備の弱軸・強軸）の方向、あるいは厳しい応力が発生する向きが明確である設備にて、建物・構築物の応答である NS・EW 方向の応答を機器の応答軸（第 9-1 図 X, Y 方向）へ入力している場合、水平 1 方向入力としては当然厳しい入力を用いた評価がなされていると考える。（さらに、機器の配置方向とは無関係に機器の応答軸へ地震力を入力している設備や水平方向を包絡した応答を用いるなどの保守性も考慮している。）

応答軸の方向あるいは厳しい応力が発生する向きが明確である設備について、水平 2 方向の地震力を想定した場合、2 方向の地震力が合成されるとすると、最大値が同時に発生する場合、最大で $\sqrt{2}$ 倍の大きさの入力となることが考えられるが、これらはそれぞれの応答軸方向に応答が分解され、強軸側の応答は十分に小さくなることから、実質的には弱軸方向に 1 方向を入力した評価で用いている応答レベルと同等となる。

さらに各方向における最大値の生起時刻の非同時性を考慮すると、さらにその影響は小さくなり、弱軸 1 方向入力による評価と大きく変わらない結果となる。

なお、3.2.1 項で述べたとおり、応答軸の方向あるいは厳しい応力が発生する向きが明確である設備について、設計手法として、地震力の入力を NS 方向・EW 方向を包絡し

た地震力（床応答曲線など）を用いて保守的な評価を実施している場合も考えると、応答軸が明確な設備については、水平2方向の地震力を考慮した場合においても影響軽微であることが分かる。

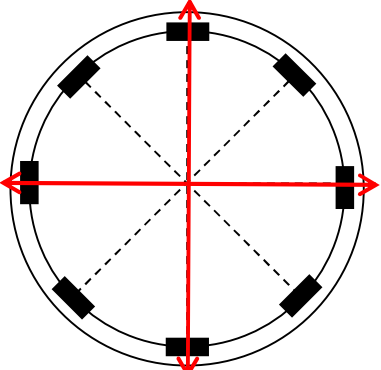
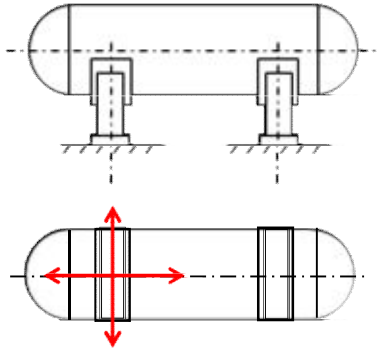
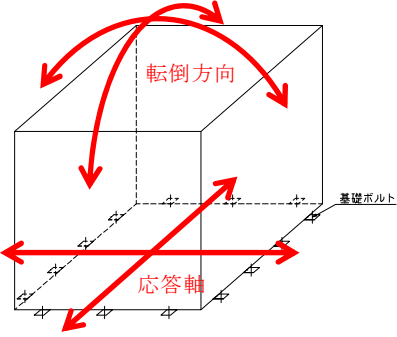


第9-1図 水平2方向加振考慮時の応答イメージ

● 本考え方方が適用可能である設備（部位）例

本考えは設備の応答軸の方向と入力の方向の関係によるものであることから、部位・応力分類によらず、各設備の耐震評価における入力方法によって影響軽微か否かを判断できると考える。別紙に本考え方方が適用可能である設備の例を示す。

別紙 応答軸が明確な設備について

設備	構造図	説明	備考
RPV スタビライザ, PCV スタビライザ		周方向 45° 間隔で 8 体配置されており、地震荷重は各スタビライザで分担する構造となっている。	NS・EW 包絡地震力を用いている。
横置き容器		横置き円筒形容器は矩形形状の支持脚により支持されており強軸と弱軸の関係が明確である。この応答軸の方向に地震力を入力した評価を実施している。	NS・EW 包絡 FRS を用いている。
空調ファン, 空調ユニット, 横形ポンプ, 電気盤 (ボルト), 非常用ディーゼル機関・発電機 (ボルト)		空調ファン及び空調ユニットは矩形に配置されたボルトにて支持されている。対角方向の剛性が高く、水平地震力に対して斜め方向へ転倒することなく、弱軸／強軸方向にしか応答せず、その方向に地震を入力した評価を実施している。	NS・EW 包絡 FRS を用いている。

② 機器・配管系の耐震評価における水平2方向入力の影響有無整理結果

表1 構造強度評価

設備	部位	応力分類	影響軽微とした分類				評価部位は円形の一様断面であることから、水平地震の方向毎に最大応力点が異なる。したがって、水平2方向の地震力を組み合わせた場合でも水平2方向の影響は僅微である。 【補足説明資料3】	左記の振動モード及び成分の影響がないことの理由 新たな応力成分の発生有無 ×：発生しない ○：発生する
			①-1 水平2方向による影響 （3,2,4項(1)に対応） ○：影響あり △：影響輕微	A : 水平2方向の地震力を受けた場合でも、構造により水平1方向の地震力しか負担しないもの B : 水平2方向の地震力を受けた場合、構造が異なるものの箇所が異なるもの C : 水平2方向の地震を組み合わせても1方向の地震による応力と同等といえるもの D : 従来評価にて、水平2方向の地震力を考慮しているもの	B	B		
炉心・シールドサポート	炉心シールド 上部胴 中間胴 下部胴	一次一般膜応力	△		B		評価部位は円形の一様断面であることから、水平地震の方向毎に最大応力点が異なる。したがって、水平2方向の地震力を組み合わせた場合でも水平2方向の影響は僅微である。 【補足説明資料3】	-
		一次膜応力+一次曲げ応力	△		B			
		支圧応力	△		C			
		鉛直荷重のみ作用し、水平荷重が作用しないため、水平2方向入力の影響はない。						
	レグ シリンドブレート 下部胴	一次一般膜応力	△		B		評価部位は円形の一様断面であることから、水平地震の方向毎に最大応力点が異なる。したがって、水平2方向の地震力を組み合わせた場合でも水平2方向の影響は僅微である。 【補足説明資料3】	-
		軸圧縮応力	△		B			
		一次膜応力+一次曲げ応力	△		B			
		一次膜応力	△		B			
		一次膜応力+一次曲げ応力	△		B			
		一次膜応力	△		B			
炉心支持構造物	上部格子板 グリッドプレート	一次膜応力+一次曲げ応力	△		B		評価部位は円形の一様断面であることから、水平地震の方向毎に最大応力点が異なる。したがって、水平2方向の地震力を組み合わせた場合でも水平2方向の影響は僅微である。 【補足説明資料3】	-
		一次一般膜応力	△		B			
		一次膜応力+一次曲げ応力	△		B			
		一次膜応力	△		B			
	炉心支持板 中央燃料支持具 周辺燃料支持具 長手中央部 下部溶接部	一次膜応力+一次曲げ応力	△		B		評価部位は格子構造であることから、水平地震の方向毎に最大応力点が異なる。したがって、水平2方向の地震力を組み合わせた場合でも水平2方向の影響は僅微である。	-
		一次一般膜応力	△		B			
		一次膜応力+一次曲げ応力	△		B			
		一次膜応力	△		B			
		一次膜応力+一次曲げ応力	△		B			
		一次膜応力	△		B			
制御棒索内管	胴板 下管 下管と胴板の接合部 下管とスカートの接合部	一次膜応力+一次曲げ応力	△		B		評価部位は円形の一様断面であることから、水平地震の方向毎に最大応力点が異なる。したがって、水平2方向の地震力を組み合わせた場合でも水平2方向の影響は僅微である。 【補足説明資料3】	-
		一次膜応力	△		B			
		一次膜応力+一次曲げ応力	△		B			
		一次膜応力	△		B			
原子炉圧力容器	胴板 下鏡	一次膜応力+一次曲げ応力	△		B		評価部位は円形の一様断面であることから、水平地震の方向毎に最大応力点が異なる。したがって、水平2方向の地震力を組み合わせた場合でも水平2方向の影響は僅微である。 【補足説明資料3】	-
		一次+二次応力	△		B			
		一次+二次+ビック応力	△		B			

② 機器・配管系の耐震評価における水平2方向入力の影響有無整理結果

表1 構造強度評価

設備	部位	応力分類	①-1 水平2方向による地震力による影響の有無(3,2,4項(1)に対応) ○：影響あり △：影響輕微	影響輕微とした分類	評価部位は円形の一様断面であることから、水平地震の方向毎に最大応力点が異なる。したがって、水平2方向の地震力を組み合わせた場合でも水平2方向の影響は軽微である。 【補足説明資料3】	○：発生しない △：発生する	左記の振動モード及び成分のうち、新たなる応力成分が発生しないことの理由
				○：水平2方向の地震力により構造により水平1方向の地震力しか負担しないものの箇所が異なるもの			
制御棒駆動機構ハブリング部 下部鏡板リガメント	各部位	一次一般膜応力	△	B	評価部位は円形の一様断面であることから、水平地震の方向毎に最大応力点が異なる。したがって、水平2方向の地震力を組み合わせた場合でも水平2方向の影響は軽微である。 【補足説明資料3】	○：発生しない △：発生する	左記の振動モード及び成分のうち、新たなる応力成分が発生しないことの理由
		一次膜応力+一次曲げ応力	△	B			
		一次+二次応力	△	B			
		一次+二次+ビーグ応力	△	B			
		座屈(輪玉端)	△	B			
		一次一般膜応力	△	B			
		一次膜応力+一次曲げ応力	△	B			
		一次+二次応力	△	B			
		一次+二次+ビーグ応力	△	B			
		一次一般膜応力	○	—			
原子炉圧力容器 ノズル	各部位	一次膜応力+一次曲げ応力	○	—	評価においては3次元的に配置されている接続配管の応答を使用しており、接続配管において地震入力方向に対する直角方向の応答が生じるため、水平2方向入力の影響がある。	○：発生しない △：発生する	3次元はりモデルの応答解析結果(配管反力)を用い、耐震評価を実施している。
		一次+二次応力	○	—			
		一次+二次+ビーグ応力	○	—			
		一次一般膜応力	○	—			
		一次膜応力+一次曲げ応力	○	—			
		一次+二次応力	○	—			
		一次+二次+ビーグ応力	○	—			
		一次一般膜応力	○	—			
		一次膜応力+一次曲げ応力	○	—			
		一次+二次応力	○	—			
プラケット類	各部位	原子炉圧力容器スタビライザープラケット	一次一般膜応力	△	水平方向の地震荷重を分散して負担する多角形配置の構造となつていていため、水平2方向の地震荷重が同時に作用した場合においても方向毎にその地震荷重は分担される。したがって、水平2方向入力の影響は僅微である。 【補足説明資料1】	○：発生しない △：発生する	評価においては3次元的に配置された評価を行っている。
		一次膜応力+一次曲げ応力	△	C			
		一次+二次+ビーグ応力	○	—			
		一次一般膜応力	△	—			
		一次膜応力+一次曲げ応力	△	C			
炉心スプレイプラケット	各部位	スチームドライバーライナーポートプラケット	一次膜応力+一次曲げ応力	△	水平2方向入力群の地震力を4つのプラケットのうち2つで分担した荷重を方毎に考慮した評価を行っている。 【補足説明資料2】	○：発生しない △：発生する	評価においては3次元的に配置された評価を行っている。
		一次膜応力	○	D			
		一次膜応力+一次曲げ応力	△	D			
炉心スプレイプラケット	各部位	一次一般膜応力	○	—	評価においては3次元的に配置された評価を行っている。	○：発生しない △：発生する	評価においては3次元的に配置された評価を行っている。
		一次膜応力+一次曲げ応力	○	—			
		一次一般膜応力	○	—			

② 機器・配管系の耐震評価における水平2方向入力の影響有無整理結果

表1 構造強度評価

設備	部位	応力分類	①-1 水平2方向による地震力の重複による影響の有無 ○：影響あり △：影響輕微	影響輕微とした分類	評価においては3次元的に配置されている炉内配管の応答を使用しており、炉内配管において地盤入力方向に対する直交方向の応答が生じるため、水平2方向入力の影響がある。
				評価においては3次元的に配置された振動モード及び成分の影響がない、新たなる地震力を組み合わせて1方向の地震による応力と同等といえるものに及ぶもの	
原子炉圧力容器	プラケット類	給水スパージャーブラケット	一次一般膜応力 ○ 一次膜応力+一次曲げ応力 ○ 純せん断応力 ○	一次一般膜応力 ○ 一次膜応力+一次曲げ応力 △ 一次+二次曲げ応力 △ 一次+二次+ビーグ応力 △ 座屈(軸圧縮) △	評価においては3次元的に配置された振動モード及び成分の影響がない、新たなる地震力を組み合わせた場合でも水平2方向入力の影響がある。 評価部位は円形の一様断面であることから、水平地震の方向毎に最大応力点が異なる。したがって、水平2方向の地震力を組み合わせた場合でも水平2方向の影響は輕微である。 評価部位は円形の一様断面であることから、水平地震の方向毎に最大応力点が異なる。したがって、水平2方向の地震力を組み合わせた場合でも水平2方向の影響は輕微である。 評価部位は円周状に配置され、水平地震の方向毎に最大応力の発生点が異なる。したがって水平2方向の影響は輕微である。 評価部位は円周状に配置され、水平地震の方向毎に最大応力の発生点が異なる。したがって水平2方向の影響は輕微である。 評価部位は円周状に配置され、水平地震の方向毎に最大応力の発生点が異なる。したがって水平2方向の影響は輕微である。
原子炉圧力容器支持構造物	原子炉圧力容器支持スカート	スカート	一次一般膜応力 ○ 一次膜応力+一次曲げ応力 △ 一次+二次+ビーグ応力 △ 座屈(軸圧縮) △	一次一般膜応力 ○ 一次膜応力+一次曲げ応力 △ 一次+二次曲げ応力 △ 一次+二次+ビーグ応力 △ 座屈(軸圧縮) △	評価においては3次元的に配置された振動モード及び成分の影響がない、新たなる地震力を組み合わせた場合でも水平2方向入力の影響がある。 評価部位は円形の一様断面であることから、水平地震の方向毎に最大応力点が異なる。したがって、水平2方向の地震力を組み合わせた場合でも水平2方向の影響は輕微である。 評価部位は円形の一様断面であることから、水平地震の方向毎に最大応力点が異なる。したがって、水平2方向の地震力を組み合わせた場合でも水平2方向の影響は輕微である。 評価部位は円形の一様断面であることから、水平地震の方向毎に最大応力点が異なる。したがって、水平2方向の地震力を組み合わせた場合でも水平2方向の影響は輕微である。 評価部位は円形の一様断面であることから、水平地震の方向毎に最大応力点が異なる。したがって、水平2方向の地震力を組み合わせた場合でも水平2方向の影響は輕微である。
原子炉圧力容器	基礎ボルト	各部位	引張応力 △ せん断応力 △ 組合せ応力 △	引張応力 △ せん断応力 △ 組合せ応力 △	評価においては3次元的に配置された振動モード及び成分の影響がない、新たなる地震力を組み合わせた場合でも水平2方向入力の影響がある。 評価部位は円周状に配置され、水平地震の方向毎に最大応力の発生点が異なる。したがって水平2方向の影響は輕微である。 評価部位は円周状に配置され、水平地震の方向毎に最大応力の発生点が異なる。したがって水平2方向の影響は輕微である。 評価部位は円周状に配置され、水平地震の方向毎に最大応力の発生点が異なる。したがって水平2方向の影響は輕微である。
原子炉圧力容器付属構造物	ボルト	各部位	せん断応力 △ 圧縮応力 △ 曲げ応力 △ 組合せ応力 △	せん断応力 △ 圧縮応力 △ 曲げ応力 △ 組合せ応力 △	評価においては3次元的に配置された振動モード及び成分の影響がない、新たなる地震力を組み合わせた場合でも水平2方向入力の影響がある。 評価部位は円周状に配置され、水平地震の方向毎に最大応力の発生点が異なる。したがって水平2方向の影響は輕微である。 評価部位は円周状に配置され、水平地震の方向毎に最大応力の発生点が異なる。したがって水平2方向の影響は輕微である。 評価部位は円周状に配置され、水平地震の方向毎に最大応力の発生点が異なる。したがって水平2方向の影響は輕微である。

② 機器・配管系の耐震評価における水平2方向入力の影響有無整理結果

表1 構造強度評価

設備	部位	応力分類	①-1 水平2方向による影響の有無 (3,2,4項(1)に対応) ○：影響あり △：影響輕微	影響輕微とした分類		①-2 水平2方向とその直交方向が相関する振動モード(ねじれ振動等)が生じる観点(3,2,4項(2)に対応)
				左記の振動モードの影響がない、箇所が異なるものの発生有無 ×：発生しない ○：発生する	振動モード及び成分新たなる応力成分が発生しないことの理由	
垣物	レストレストレントビーム	せん断応力 圧縮応力 曲げ応力	△ △ △	B B B	水平2方向地盤が作用する際に、加振軸上に最大応力が発生する。水平2方向の地盤応力が同時に、それその方向の加振軸上に最大応力が発生する。したがって、水平2方向入力の影響は輕微である。 同上 同上	— ×
制御機器駆動機構、 ワジング支持金具	ボルト	引張応力 せん断応力 組合せ応力	△ △ △	B B B	水平2方向地盤が作用する際に、加振軸上に最大応力が発生する。水平2方向の地盤応力が同時に、それその方向の加振軸上に最大応力が発生する。したがって、水平2方向入力の影響は輕微である。 同上 同上	— ×
ユニットサポート	耐震用プロック	一次一般膜応力 一次膜応力+一次曲げ応力 せん断応力	△ △ △	C C B	従来評価が厳しくなる方向に地震荷重を与えているため、水平2方向の地震荷重と同等となる。したがって水平2方向の影響は輕微である。 同上 同上	— ×
蒸気乾燥器	鉛直力	鉛直力	△	D	地震の水平力は4箇所の耐震用ブロックのうち相対する2箇所で受けるものとして評価しているが、水平2方向入力では4箇所の耐震用ブロックに荷重が分担されたため、水平2方向入力の影響は輕微である。	—
気水分離器及びストップタンドバイア	各部位	水平力 モーメント	△ △	B B	評価部位は円形の一様断面であることから、水平地震の方向毎に最大応力点が異なる。したがって、水平2方向の地盤力を組み合わせた場合でも水平2方向の影響は輕微である。【補足説明資料3】 同上	— ×
中性子束索内管	シユラウドヘッド	一次一般膜応力 一次膜応力+一次曲げ応力	△ △	B B	評価部位は円形の一様断面であることから、水平地震の方向毎に最大応力点が異なる。したがって、水平2方向の地盤力を組み合わせた場合でも水平2方向の影響は輕微である。【補足説明資料3】 同上	— ×
原子炉内部構造物	スページャ 炉内配管	一次一般膜応力 一次膜応力+一次曲げ応力	○ ○	— —	3次元的に配置されているため、水平2方向の地盤力に対し、各方面で応力が発生する。したがって、水平2方向入力の影響がある。 同上	○ ○

② 機器・配管系の耐震評価における水平2方向入力の影響有無整理結果

表1 構造強度評価

設備	部位	応力分類	影響の重複による影響の有無(3,2,4項(1)に対応) ○：影響あり △：影響僅微	影響軽微とした分類 A：水平2方向の地震力を受けた場合でも、構造により水平1方向の地震力しか負担しないものの地震力による影響 B：水平2方向の地震力を受けた場合、構造が異なるものの箇所が異なるもの箇所を組み合わせても1方向の地震による応力と同等といえるもの箇所にて、水平2方向の地震力を考慮しているもの	①-2 水平2方向とその直交方向が相関する振動モード(ねじれ振動等)が生じる観点(3,2,4項(2))	左記の振動モードの影響がない、新たな応力成分の発生有無 ×：発生しない ○：発生する	○	従来より、3次元モデルの応答解析結果を用い、耐震評価を実施しております。ねじれひびき状態についても耐震評価に用いる同種の簡便算式を用いて算出される。
					非対象構造であるため3次元モデルを用いた解析を行っており、水平2方向入力の影響に対する応力が入力方向毎に異なる。したがって、水平2方向入力の影響がある。			
	ジエットポンプ ライザ ディフェューザ ライザブレース	一次一般膜応力 一次膜応力+一次曲げ応力	○ ○	同上	水平それぞれの方向における評価において、最大応力発生箇所は異なるものの、円形状の一様断面ではないため、発生応力は積算されない。	○	○	3次元FEMモデルを作成し、耐震評価を実施している。
	ラック部材	引張応力 せん断応力 組合せ応力	○ ○ ○	同上	水平2方向入力の影響がある。	×	×	3次元FEMモデルを作成し、耐震評価を実施している。
	脚錨ラック (共通ベース含む)	引張応力 せん断応力 組合せ応力	△ △ △	同上	ボルトは矩形配置であり、水平2方向の入力によるで效角方向への伝御を想定し検討した結果、水平2方向地盤力の最大応答の非同時性を考慮することにより、影響は僅微である。 【補足説明資料6】	×	—	—
	基礎ボルト ラック取付ボルト	一次一般膜応力 一次+二次応力 純せん断応力 支圧応力	△ △ △ △	同上	水平2方向入力時のボルトに発生するせん断応力を検討した結果、水平2方向地盤の影響は僅微となる。 【補足説明資料6】	×	×	—
	各部位 (支持構造物以外)	一次+二次+ビーム応力 純せん断応力 引張応力 せん断応力 圧縮応力 曲げ応力 支圧応力 組合せ応力	△ △ △ △ △ △ △ △	同上	上記の引張応力及びせん断応力は、水平2方向の影響が軽微のため、組合せ応力も水平2方向の影響は僅微である。 評価部位は円形の一様断面であることから、水平地盤の方向毎に最大応力点が異なる。したがって、水平2方向の地震力を組み合わせた場合でも水平2方向の影響は僅微である。 【補足説明資料3】	—	—	—
	乾式貯蔵容器				評価部位が支持する構造物は円形の一様断面であり、水平地盤の方向毎に最大応答速度の発生点が異なる。したがって、評価部位の最大応力点も水平地盤の方向毎に異なるため、水平2方向の影響は僅微である。	×	—	—

② 機器・配管系の耐震評価における水平2方向入力の影響有無整理結果

表1 構造強度評価

設備	部位	応力分類	影響の有無 (3,2,4項(1)に対応) ○：影響あり △：影響輕微	影響軽微とした分類 A：水平2方向の地震力を受けた場合でも、構造により水平1方向の地震力しか負担しないものの影響による影響 B：水平2方向の地震力を受けた場合、構造が異なるものの箇所が異なるもので、水平2方向の地震による応力と同等といえるもので、從来評価にて、水平2方向の地震力を考慮しているもの	①-2 水平2方向とその直交方向が相関する振動モード(ねじれ振動等)が生じる観点 (3,2,4項(2)に対応)	左記の振動モードの影響がない、新たな応力成分の発生有無 ×：発生しない ○：発生する
					①-1の影響有無の説明	
ボルト	胴板	平均引張応力 平均引張応力+曲げ応力 一次+二次+ビーグ応力	△ △ △	B B B	ボルトは円周状に配置され、水平地震の方向毎に最大応力の発生点が異なる。 したがって水平2方向の影響は輕微である。	— ×
四脚たて置き円筒形容器	脚	一次一般膜応力 一次膜応力+一次曲げ応力 一次+二次応力 組合せ	○ ○ ○	— — —	評価点が脚付根部等の局所であり、1方向の地震においても輪直角方向の評価点へも影響が生じることから、2方向入力の影響がある。	— ×
横置円筒形容器	座屈	一次一般膜応力 一次膜応力+一次曲げ応力 一次+二次応力	○ ○ ○	— — —	評価点が脚付根部等の局所であり、1方向の地震においても輪直角方向の評価点へも影響が生じることから、2方向入力の影響がある。	同上
脚	胴板	一次一般膜応力 一次膜応力 組合せ応力 引張応力 せん断応力 コラムパイプ 基盤ボルト	△ △ △ △ △ △	A A A A C B	水平2方向が同時に作用した場合においても、強軸と弱軸の関係が明確であるため、最大応力発生部位は変わらず影響は輕微である。 水平2方向が同時に作用した場合においても、強軸と弱軸の関係が明確であるため、最大応力発生部位は変わらず影響は輕微である。 水平2方向が同時に作用した場合においても、強軸と弱軸の関係が明確であるため、最大応力発生部位は変わらず影響は輕微である。 水平2方向が同時に作用した場合においても、強軸と弱軸の関係が明確であるため、最大応力発生部位は変わらず影響は輕微である。 水平2方向入力時のボルトに発生するせん断応力を検討した結果、水平2方向地盤における最大応答の非同時性を考慮することにより、影響は軽微である。【補足説明資料6】	— — — — — ×
立形ポンプ	各部	組合せ応力 引張応力 せん断応力 組合せ応力 一次膜応力+一次曲げ応力	△ △ △ △ △	C B C C D	上記の引張応力及びせん断応力は、水平2方向の影響が軽微のため、組合せ応力も水平2方向の影響は軽微である。 評価部位は円形の一様断面であることから、水平地震の方向毎に最大応力点が異なる。したがって、水平2方向の地震力を組み合わせた場合でも水平2方向の影響は輕微である。【補足説明資料3】	現在考慮しているX, Y方向振動モードではねじれ振動は現れない。よって、ねじれ振動は現れる可能性はあるが、有応答ではないため、影響がないと考られる。
ECCSストレーナー					ボルトは円周状に配置され、水平地震の方向毎に最大応力の発生点が異なる。 したがって水平2方向の影響は軽微である。	○
					水平2方向入力時のボルトに発生するせん断応力を検討したことにより、影響は軽微である。	
					上記の引張応力及びせん断応力は、水平2方向の影響が軽微のため、組合せ応力も水平2方向の影響は軽微である。	
					水平2方向の組合せを考慮した評価を実施している。	— ×

② 機器・配管系の耐震評価における水平2方向入力の影響有無

表 1 構造強度評価

② 機器・配管系の耐震評価における水平2方向入力の影響有無整理結果

表1 構造強度評価

設備 核計装備	部位 各部位	応力分類 ①-1 水平2方向による地震力の重複による影響の有無 ○：影響あり △：影響極微	影響軽微とした分類				評価部位は円形の一様断面であることから、水平地震の方向毎に最大応力点が異なる。したがって、水平2方向の地震力を組み合わせた場合の影響は極微である。 【補足説明資料3】	×
			一次一般膜応力	△	B	振動モード及び成分の影響がない、新たなるもの発生しないことの理由		
伝送器（壁掛）	取付ボルト	一次膜応力+一次曲げ応力 引張応力 せん断応力 組合せ応力	△ ○ △ ○	△ ○ △ —	B A B —	振動モード及び成分の発生しないことの理由	振動モード及び成分の発生しないことの理由	—
伝送器（円形吊下）	取付ボルト	引張応力 引張応力 せん断応力 組合せ応力	△ △ △ ○	△ △ △ —	C C C —	鉛直荷重のみ作用し、水平荷重が作用しないため、水平2方向の影響はない。	鉛直荷重のみ作用し、水平荷重が作用しないため、水平2方向の影響はない。	—
制御盤	取付ボルト	一次一般膜応力 一次膜応力+一次曲げ応力 一次+二次応力	△ ○ ○	△ ○ —	B B B	ボルトは矩形配置であり、水平2方向の入力による対角方向への転倒を想定し検討した結果、水平2方向地震力の最大応答の非同時性を考慮することにより、影響は極微である。 【補足説明資料6】	水 平2 方向 入力 時 のボルトに発生するせん断応力を検討した結果、水平2方向地震における最大応答の非同時性を考慮することにより、影響は極微となる。 【補足説明資料6】	—
原子炉格納容器	サブレッシャン・サブリニア底部ライナブレーティング部及びサブレッシュ・ショーンバ円筒部・サンドクッション部	圧縮ひずみ 引張ひずみ 一次一般膜応力 一次膜応力+一次曲げ応力 一次+二次応力 引張応力 せん断応力 圧縮応力 曲げ応力 組合せ応力	○ ○ △ △ △ △ △ △ △ △ △ △ △ —	— — — — — — — — — — — — —	同上 同上 同上 同上 同上 同上 同上 同上 同上 同上 同上 同上 同上	評価部位は円形の一様断面であることから、水平地震の方向毎に最大応力点が異なる。したがって、水平2方向の地震力を組み合わせた場合の影響は極微である。 【補足説明資料3】	評価部位は円形の一様断面であることから、水平地震の方向毎に最大応力点が異なる。したがって、水平2方向の地震力を組み合わせた場合の影響は極微である。 【補足説明資料3】	—

② 機器・配管系の耐震評価における水平2方向入力の影響有無整理結果

表1 構造強度評価

設備	部位	応力分類	①-1 水平2方向による影響の有無 (3,2,4項(1)に対応) ○：影響あり △：影響輕微	影響輕微とした分類	①-2 水平2方向とその直交方向が相関する振動モード(ねじれ振動等)が生じる観点(3,2,4項(2)に対応)	左記の振動モードの影響がない、新たなる応力成分の発生有無 ×：発生しない ○：発生する との理由
				多角形配置により水平地震力は分担されたり、水平2方向入力の影響は軽微である。		
	ビームシート		一次剪応力+一次曲げ応力 一次+二次応力	△ △	C C	同上
			引張応力 せん断応力 曲げ応力 組合せ応力	△ △ △ △	C C C C	水方向の地震荷重を分散して負担する多角形配置の構造となつていていため、水平2方向の地震荷重が同時に作用した場合においても方向毎にその地震荷重は分担される。したがつて、水平2方向入力の影響は軽微である。 【補足説明資料1】
	各部位		せん断応力 曲げ応力 組合せ応力 一次+二次応力	△ △ △ △	C C C C	同上
	ドライウェル上部 シアラグ及びスタ ビライザ ドライウェル下部 シアラグ及びスタ ビライザ		一次剪応力+一次曲げ応力 一次+二次応力	△ △	C C	水方向の地震荷重を分散して負担する多角形配置の構造となつていていため、水平2方向の地震荷重が同時に作用した場合においても方向毎にその地震荷重は分担される。したがつて、水平2方向入力の影響は軽微である。 【補足説明資料1】
	上部アンアラグと格納容器洞との接合部 下部アンアラグと格納容器洞との接合部		一次剪応力+一次曲げ応力 一次+二次応力	○ ○	— —	評価部位は水平地震力に対する発生応力が入力方向毎に異なる。したがつて、水平2方向入力の影響がある。
	機器搬入用ハッチ 所員用エアロック サブレッシャジョン・ チエンバクセス ハッチ		本体と補強板との接合部 補強板と格納容器洞 一般部との接合部	— — —	— — —	—
	原子炉格納容器 アンカ一部		引張応力 曲げ応力 圧縮応力 組合せ応力 せん断応力度 コンクリート	△ △ △ △ △ △	B B B B B B	評価部位は円周上に配置されていることから、水平地震の方向毎に最大応力点が異なる。従つて、水平2方向入力の影響は軽微である。
	配管貫通部		原子炉格納容器洞と スリーブとの接合部	一次剪応力+一次曲げ応力 一次+二次応力	○ ○	評価部位は水平地震力に対する発生応力が入力方向毎に異なる。したがつて、水平2方向入力の影響がある。
				— —	— —	○

② 機器・配管系の耐震評価における水平2方向入力の影響有無整理結果

表1 構造強度評価

設備	部位	応力分類	影響軽微とした分類			
			①-2 水平2方向とその直交方向が相関する振動モード(ねじれ振動等)が生じる観点(3.2.4項)			
		①-1 水平2方向による影響	A : 水平2方向の地震力を受けた場合でも、構造により水平1方向の地震力しか負担しないもの B : 水平2方向の地震力を受けた場合、構造により最大応力の発生箇所が異なるもの C : 水平2方向の地震を組み合わせても1方向の地震による応力と同等といえるもの D : 従来評価にて、水平2方向の地震力を考慮しているもの	D	左記の振動モードの影響がない、新たなる応力成分の発生有無 × : 発生しない ○ : 発生する	振動モード及び成分の理由
電気配線貫通部	スリーブ付根部	一次膜応力+一次曲げ応力	△	D	水平2方向を考慮した評価を実施している。	—
	補強板付根部	一次+二次応力	△	D	同上	×
鉄筋コントラートスラブ	引張応力度	△	C	鉛直方向荷重が支配的であるため、水平2方向入力の影響は軽微である。 【補足説明資料4】	—	
柱	せん断応力度	△	C	同上		
柱	圧縮応力度	△	C	同上		
シアコネクタ	曲げ応力	△	C	鉛直荷重のみ作用し、水平荷重が作用しないため、水平2方向の影響はない。 【補足説明資料4】	×	—
柱	せん断応力	△	C	同上		
柱	圧縮応力	△	C	同上		
ペント管	上部ブレーキング部	一次膜応力+一次曲げ応力	△	B	多角形配置により水平地震力は分担されるため、水平2方向入力の影響は軽微である。 【補足説明資料4】	—
	一次+二次応力	△	B	評価部位は円形の一様断面であることから、水平地震の方向毎に最大応力点が異なる。したがって、水平2方向の地震力を組み合わせた場合でも水平2方向の影響は軽微である。 【補足説明資料3】	×	—
格納容器スプレイヘッダ	スプレイ管部	一次膜応力+一次曲げ応力	○	—	評価部位は、非対象構造であるため水平地震力に対する発生応力が入力方向毎に異なる。したがって、水平2方向入力の影響がある。	○
	ティール部	一次+二次応力	○	—	同上	—
可燃性ガス濃度制御系再結合装置プロワ	ブレース	圧縮応力	△	A	3次元のモデルを用いた解析により、従来よりねじれモードを考慮した耐震評価を実施している。	×
ベース取付溶接部	ベース溶接部	せん断応力	○	—	ブレースはプロワの重心とサポートブレート設置位置のずれによる軸方向転倒防止のため設置している。そのためブレースが受け持つ荷重は現在評価対象としている軸方向の軸倒モーメント分のみと考えられ、軸直方向の水平地震荷重はベース溶接部のせん断で受け持つと考えられる。したがって、水平2方向入力の影響は受けない。	—
	ベース取付溶接部	ベース溶接部	せん断応力	—	ベース溶接部で水平方向のそのぞれの水平荷重を負担する。したがって、水平2方向入力の影響がある。	—

② 機器・配管系の耐震評価における水平2方向入力の影響有無整理結果

表1 構造強度評価

設備	部位	応力分類	影響の有無 (3, 2, 4項(1)に対応) ○：影響あり △：影響輕微	影響軽微とした分類 A : 水平2方向の地震力を受けた場合でも、構造により水平1方向の地震力しか負担しないもの B : 水平2方向の地震力を受けた場合、構造が異なるものの箇所が組み合わせても1方向の地震による応力と同等といえるもの C : 水平2方向の地震にて、水平2方向の地震力を考慮しているもの	①-2 水平2方向とその直交方向が相関する振動モード(ねじれ振動等)が生じる観点 (3, 2, 4項(2))	左記の振動モードの影響がない、新たな応力成分の発生有無 ×：発生しない ○：発生する との理由
					①-1の影響有無の説明	
ディーゼル発電機	基礎ボルト 取付ボルト	引張応力 せん断応力 組合せ応力	△ △ △	C C C	ボルトは矩形配置であり、水平2方向の入力による対角方向への転倒を想定し検討した結果、水平2方向地盤力の最大応答の非同時性を考慮することにより、影響は輕微である。【補足説明資料6】	-
側板	一次一般膜応力 一次+二次応力	△ △	△ △	A A	水平2方向入力時のボルトに発生するせん断応力力を検討した結果、水平2方向地盤における最大応答の非同時性を考慮することにより、影響は輕微となる。【補足説明資料6】	×
脚	組合せ応力 引張応力 せん断応力 組合せ応力	△ △ △ △	△ △ △ △	A A A A	水平2方向が同時に作用した場合においても、強軸と弱軸の関係が明確であり、斜め方向に変形するではなく、支持構造物の強軸側と弱軸側に変形するため、最大応力発生部位は変わらず影響は輕微である。	-
アレート式熱交換器	基礎ボルト	一次一般膜応力 一次+二次曲げ応力	△ △	B 同上	ボルトは矩形配置であり、水平2方向の入力による対角方向への転倒を想定し検討した結果、水平2方向地盤力の最大応答の非同時性を考慮することにより、影響は輕微である。【補足説明資料6】	×
胴板	一次一般膜応力 一次+二次応力 一次+二次曲げ応力	△ △ △	△ △ △	B B B	水平2方向入力時のボルトに発生するせん断応力力を検討した結果、水平2方向地盤における最大応答の非同時性を考慮することにより、影響は輕微となる。【補足説明資料6】	-
ラグ支持たて置き円筒形容器	振れ止め シアラグ 取付ボルト	組合せ応力 引張応力 せん断応力 組合せ応力	△ △ △ △	B B B B	上記の引張応力及びせん断応力は、水平2方向の影響が輕微のため、組合せ応力も水平2方向の影響は輕微である。 評価部位は円形の一様断面であることから、水平地震の方向毎に最大応力点が異なる。したがって、水平2方向の地震力を組み合わせた場合でも水平2方向の影響は輕微である。【補足説明資料3】	同上

② 機器・配管系の耐震評価における水平2方向入力の影響有無整理結果

表1 構造強度評価

設備	部位	応力分類	影響評価した分類	①-2 水平2方向とその直交方向が相関する振動モード(ねじれ振動等)が生じる観点(3.2.4項)	
				①-1の影響有無の説明	左記の振動モードの影響がない、新たなる応力成分の発生しないことの理由
その他電源設備	取付ボルト	①-1 水平2方向による影響 ○：影響あり △：影響程度微弱	A : 水平2方向の地震力を受けた場合でも、構造により水平1方向の地震力しか負担しないもの B : 水平2方向の地震力を受けた場合、構造により最大応力の発生箇所が異なるもの C : 水平2方向の地震を組み合わせても1方向の地震による応力と同等といえるもの D : 従来評価にて、水平2方向の地震力を考慮しているもの	振動モード及び新たな応力成分の発生有無 ×：発生しない ○：発生する	-
配管本体、サポート(多質点梁モデル解析)	各部材	一次応力 一次+二次応力 組合せ応力	引張応力 せん断応力 組合せ応力	△ △ △	C C C
矩形構造の架構設備(静的接触部材再結合装置、架台を含む)	ボルト	各部材	一次応力 一次+二次応力 組合せ応力	○ ○ ○	- - -
通信連絡設備(アンテナ)	ボルト	各部材	引張応力 せん断応力 組合せ応力	△ △ △	A A A
水位計	取付ボルト	各部材	引張応力 せん断応力 組合せ応力	△ △ △	B C C
湿度計	溶接部	一次応力	一次応力	△	D
常設代替高圧電源装置	取付ボルト	引張応力 せん断応力 組合せ応力	引張応力 せん断応力 組合せ応力	△ △ △	C C C

② 機器・配管系の耐震評価における水平2方向入力の影響有無整理結果

表1 1度評価構造強度

設備	部位	応力分類	影響評価				①-2 水平2方向とその直交方向 が相關する振動モード(ねじれ振動等)が生じる観点(3.2.4項(2)) に対する応応)
			①-1 水平2方向の地震力による影響の有無 (3.2.4項(1)に対応) ○：影響あり △：影響軽微	①-1 水平2方向の地震力による影響の有無 (3.2.4項(1)に対応) ○：影響あり △：影響軽微	①-1の影響有無の説明		
			A : 水平2方向の地震力を受けた場合でも、構造により水平1方向の地震力しか負担しないもの B : 水平2方向の地震力を受けた場合、構造により最大応力の発生箇所が異なるものの C : 水平2方向の地震力を組み合わせても1方向の地震によると応力と同等といえるものの D : 従来評価にしては、水平2方向の地震力を考慮しているもの	△	B	ボルトは円周状に配置され、水平地震の方向毎に最大応力の発生点が異なる。したがって水平2方向の影響は軽微である。	左記の振動モード及び新たなる応力成分の発生有無の理由 ○：発生しない ×：発生する ○：新たな応力成分が発生しない ×：新たな応力成分が発生する ○：新たな応力成分が発生しない ×：新たな応力成分が発生する ○：新たな応力成分が発生しない ×
	取付ボルト	引張応力	△	△	C	水平2方向入力時のボルトに発生するせん断応力を検討した結果、水平2方向地盤における最大応答の非同時性を考慮することにより、影響は軽微である。	—
	組合せ応力	せん断応力	△	△	C	上記の引張応力及びせん断応力は、水平2方向の影響が軽微のため、組合せ応力も水平2方向の影響は軽微である。	×
	組合せ応力	組合せ応力	○	—	—	水平2方向入力の影響がある。	—
	据付部材	シール材	シールに生じる変位	△	C	対象となる貫通部は建屋軸に沿った配置となっていることから、シール材に加わるせん断方向及び圧縮方向の変位は、水平1方向の地震力の応答が支配的であり、他の水平方向の地震力による応答は小さいため、水平2方向入力の影響は軽微である。	×
	貫通部止水処置	曲げ応力	△	△	C	鉛直方向加速度のみを用いた評価であるため、水平2方向を考慮しても影響はない。	—
	浸水防止蓋	せん断応力	△	△	C	同上	—
	基礎ボルト	組合せ応力	△	△	C	同上	—
	逆流防止用逆止弁	各応力分類	○	—	—	水平2方向入力の影響がある。	×
	原子炉ウェル遮へいブレーカ	本体	せん断応力度	△	C	鉛直方向荷重が支配的であるため、水平2方向入力の影響は軽微である。	×
	中間スラブ	引張応力度	△	△	B	評価部位は円形の一様断面であることから、水平地震の方向毎に最大応力点が異なる。したがって、水平2方向の地震力を組み合わせた場合でも水平2方向の影響は軽微である。【補足説明資料3】	—
	下層円筒基部	圧縮応力度	△	△	B	同上	—
	原子炉本体の基礎	せん断応力度	△	△	B	円周配置であり、水平地震の方向毎に最大応力の発生点が異なる。したがって水平2方向の影響は軽微である。	×
		引張応力度	△	△	B	同上	—
		せん断応力度	△	△	B	同上	—
		曲げ応力度	△	△	B	同上	—

② 機器・配管系の耐震評価における水平2方向入力の影響有無

表1 評度強造構評価

部位	応力分類	①-2 水平2方向とその直交方向が相關する振動モード(ねじれ振動等)が生じる観点(3.2.4項(2))			
		A : 水平2方向の地震力を受けた場合でも、構造により水平1方向の地震力しか負担しないものの影響による影響	B : 水平2方向の地震力を受けた場合、構造により最大応力の発生箇所が異なるものの影響による影響	C : 水平2方向の地震力を組み合わせても1方向の地震による応力と同等といえるものの影響による影響にて、水平2方向の地震力を考慮しているもの	D : 従来評価にて、水平2方向の地震力を考慮していないもの
燃料取替機構造物フレーム ブリッジ脱線防止ラグ(本体) トロリ脱線防止ラグ(本体) 走行レール 横行レール	引張応力 せん断応力 組合せ応力	△ △ △	△ △ △	A A A	すべり方向とすべり直交方向では、それぞれの水平方向地震を受けた場合の挙動が異なるため、方向毎に発生応力が異なる。【補足説明資料5】 ○
ブリッジ脱線防止ラグ(取付ボルト) トロリ脱線防止ラグ(取付ボルト)	せん断応力	△	△	A	すべり方向とすべり直交方向では、それぞれの水平方向地震を受けた場合の挙動が異なるため、方向毎に発生応力が異なる。【補足説明資料5】 ○
吊具	吊具荷重	△	△	C	鉛直荷重のみ作用し、水平荷重が作用しないため、水平2方向入力の影響はない。 —
クレーン本体ガーダ	せん断応力 曲げ応力 浮上り量	△ △ △	△ △ △	D D D	水平2方向及び鉛直方向の地震力を組み合わせた評価を実施している。 ○
落下防止金具	圧縮応力	△	△	A	すべり方向とすべり直交方向では、それぞれの水平方向地震を受けた場合の挙動が異なるため、方向毎に発生応力が異なる。【補足説明資料5】 ×
トロリスツッパ	圧縮応力 組合せ応力 浮上り量	△ △ △	△ △ △	A D D	水平2方向及び鉛直方向の地震力を組み合わせた評価を実施している。 ○
吊具	吊具荷重	△	△	D	水平2方向及び鉛直方向の地震力を組み合わせた評価を実施している。 ○
一般胴部 開口集中部	せん断応力 曲げ応力 組合せ応力	△ △ △	△ △ △	B C B	評価部位は円形の一様断面であることから、水平地震の方向毎に最大応力点方向の影響は軽微である。【補足説明資料3】 ○
原子炉遮蔽					評価部位は円形の一様断面であることから、水平地震の方向毎に最大応力点方向の影響は軽微である。【補足説明資料3】 ○

② 機器・配管系の耐震評価における水平2方向入力の影響有無整理結果

表2 動的／電氣的機能評価

機種	①-1 水平2方向の地震力を受けた場合でも、構造による影響の有無	影響経緯とした分類				①-2 水平2方向とその直交方向が相間する振動モード(おじれ振動等)が生じる震点(3.2.4項②)に対応)
		A : 水平2方向の地震力を受けた場合でも、構造により水平1方向の地震力を負担しないもの	B : 最大5方の力の発生箇所が異なるものの	C : 水平2方向の地震力を組み合わせても1方向の地震による応力と同等といえるものの	D : 従来評価にて、水平2方向の地震力を考慮しているものの	
立形ボンブ	○	—	—	輸受は円周に均等に地震力を受けたため、水平2方向入力の影響を受け。	×	—
横形ボンブ	△	A	B	現行の機能維持確認速度における詳細評価※で最も弱部である弁管(主蒸気止め弁ヨーク部(立置き))に対して、水平2方向による最大応力の発生箇所が異なるため影響は軽微である。	×	—
ポンプ駆動用タービン	△	B	D	現行の機能維持確認速度における詳細評価※で最も弱部である弁管(主蒸気止め弁ヨーク部(立置き))に対して、水平2方向による最大応力の発生箇所が異なるため影響は軽微である。	×	—
立形機器用電動機	△	—	—	現行の機能維持確認速度における詳細評価※で最も弱部である弁管(主蒸気止め弁ヨーク部(立置き))に対して、水平2方向による最大応力の発生箇所が異なるため影響は軽微である。	×	—
横形機器用電動機	△	—	—	現行の機能維持確認速度における詳細評価※で最も弱部である弁管(主蒸気止め弁ヨーク部(立置き))に対して、水平2方向による最大応力の発生箇所が異なるため影響は軽微である。	×	—
空調ファン	△	—	—	現行の機能維持確認速度における詳細評価※で最も弱部である弁管(主蒸気止め弁ヨーク部(立置き))に対して、水平2方向による最大応力の発生箇所が異なるため影響は軽微である。	×	—
非常用ディーゼル発電機 (機関本体)	△	—	—	現行の機能維持確認速度における詳細評価※で最も弱部である弁管(主蒸気止め弁ヨーク部(立置き))に対して、水平2方向による最大応力の発生箇所が異なるため影響は軽微である。	×	—
非常用ディーゼル発電機 (ガバッテ)	○	—	—	ガバッテについては水平2方向合成による応答増加の影響がある。ただし、JEA64601に記載の機能維持確認速度は4.86であるが、旧INES試験より4.6まで機能維持を確認しているため、2方向合成加速度が4.6未満であれば問題ない。	×	—
弁	○	—	—	弁については水平2方向合戦による応答増加の影響があるが、2方向合成加速度が試験にて確認した機能維持確認速度未満であれば問題ない。	×	—
制御棒挿入性	○	—	—	水2方向入力の影響がある。	×	—
電気盤	△	—	—	電気盤、制御盤等に取付けられているリレー、遮断器等の電気品は、基本的に1次元的な接点のON-OFFに開閉する比較的単純な構造をしている。加えて、基準的には全て、螺栓等の強度部位に強固に固定されているため、他の水平方向の地震力は負担しないと考えられる。したがって、電気品は水平2方向の地震力を負担しない。	×	—
伝送器・指示計	△	A	—	伝送器・指示計の揚引試験結果において、X、Y各成分に共振点ではなく出力変動を感じないことを確認していることから、X、Y2方向合成に対する応答増加は生じないものと考えられる。よって、X、Y2方向入力に対して応答増加は生じないものと考えられる。よって、X、Y2方向入力の影響は軽微である。	×	—
常設代替高压電源装置	△	—	A	水2方向の入力で対角方向に応答するとはないため、水平2方向の入力の影響は軽微である。	×	—
水位計	△	—	A	揚引試験結果において、X、Y各成分に共振点はなく、出力変動を生じないことを確認していることから、X、Y2方向合成にも共振点はないものと考えられる。よって、X、Y2方向入力に対する影響は軽微である。	—	—
監視カメラ	△	—	A	揚引試験結果において、X、Y各成分に共振点はなく、出力変動を生じないことを確認していることから、X、Y2方向合成にも共振点はないものと考えられる。よって、X、Y2方向入力に対する影響は軽微である。	—	—
通信網絡設備 (アンテナ)	○	—	—	水2方向入力の影響がある。	—	—

※：JEAG4601で定められた評価部位の裕度評価

③ 影響範囲を考慮した遮蔽構造の影響範囲付近（構造強度）（裏面）

発生箇所(水平2方向)の詳細調査方法					
水平2方向での評価 (水平2方向の影響又は 水平1・2方向で評価する場合) の場合は、評価評価		水平1方向での評価 の場合は、評価評価		発生箇所(水平2方向)の調査方法	
構造	構造	構造	構造	構造	構造
設備	応答軸が明確か、 (補足資料2.4.3項)に 対応) ○：応答軸が明確か、 設計用加速度としてアスペクト 上を考慮している。 ×：応答軸が明確でない。	構造名 代用構造名 ○：考慮している。 ×：考慮していない。	評価部位 応力分類	発生箇所 評価値(%)	発生箇所(水平2方向)に 外側に分離し、地震による応力がS RSS 2：X・Y・Z方向別応力を RSS (0種・他)以外は △：影響が無限 ○：影響が微弱 △：影響が強烈 ①：構造を組み合わせることで、他の構造と連携して、構造全体の剛性を保つことによる効果 ②：構造を組み合わせることで、他の構造と連携して、構造全体の剛性を保つことによる効果 ③：設計強度以上を達成するため、構造を組み合わせることで、他の構造と連携して、構造全体の剛性を保つことによる効果
床心シールド					
シユラウトサポート					
上部格子板					
炉心支持脚					
燃料支持金具					
制御体案内管					
原子炉压力容器 下蓋	剛体形脱離部 ワジン／貫通部				
中性子量測ハーフ ジング貫通部					
原子炉压力 容器 ノズル					
ブランケット観 察器					
原子炉压力 容器 運物	原子炉压力容器支 持スカート 原子炉压力容器基 盤				

水平 2 方向及び鉛直方向地震力の影響評価における代表性について

1. はじめに

機器・配管系における水平 2 方向及び鉛直方向地震力の影響評価において、水平 2 方向の影響を考慮した場合に発生値がどの程度増分するかを検討している。その際には、耐震重要施設、常設耐震重要重大事故対処設備又は常設重大事故緩和設備が設置される重大事故等対処施設の機器・配管系並びにこれらの施設への波及的影響防止のために耐震評価を実施する設備について、機種毎に裕度の小さい部位を代表して影響評価を実施している。

2. 水平 2 方向及び鉛直方向地震力の影響評価における代表性について

水平 2 方向及び鉛直方向地震力の影響評価にあたっては、機種毎に裕度の小さい部位を代表として選定しているが、その代表性について説明する。

各機種のうち一部の機種については、複数の応力分類や評価部位を有していたりするものがあり、それらについては評価結果に対する地震力の寄与度がそれぞれ変わる場合がある。従って、本影響評価においては、これらの設備について、耐震裕度が小さい部位を代表とした上で、地震以外の荷重成分を地震荷重とみなし、水平 1 方向及び鉛直方向の組合せによる評価値を水平各方向（それぞれ鉛直方向も含む）で用いるなどの簡易的かつ保守的な方法（第 1 図参照）を適用することを基本とする。

この方法を適用する機種は、耐震裕度の小さい部位や応力分類で代表することができる。

また、この簡易的かつ保守的な方法を適用しない機種は、評価結果に対する地震力の寄与度に配慮した、影響評価を個別に行う場合もある。

東海第二発電所における本影響評価の代表部位一覧を表 1（追而）に示す。

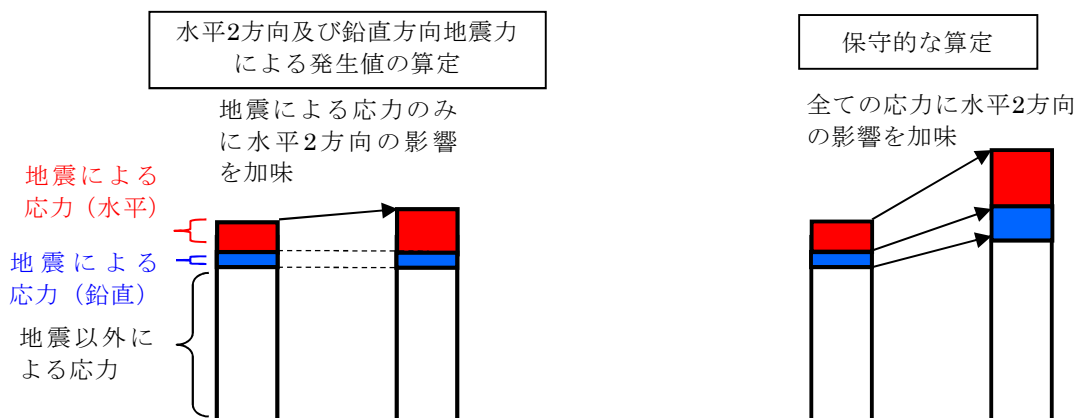


図 1 地震以外の荷重成分を地震荷重とみなす場合の保守的な算定イメージ